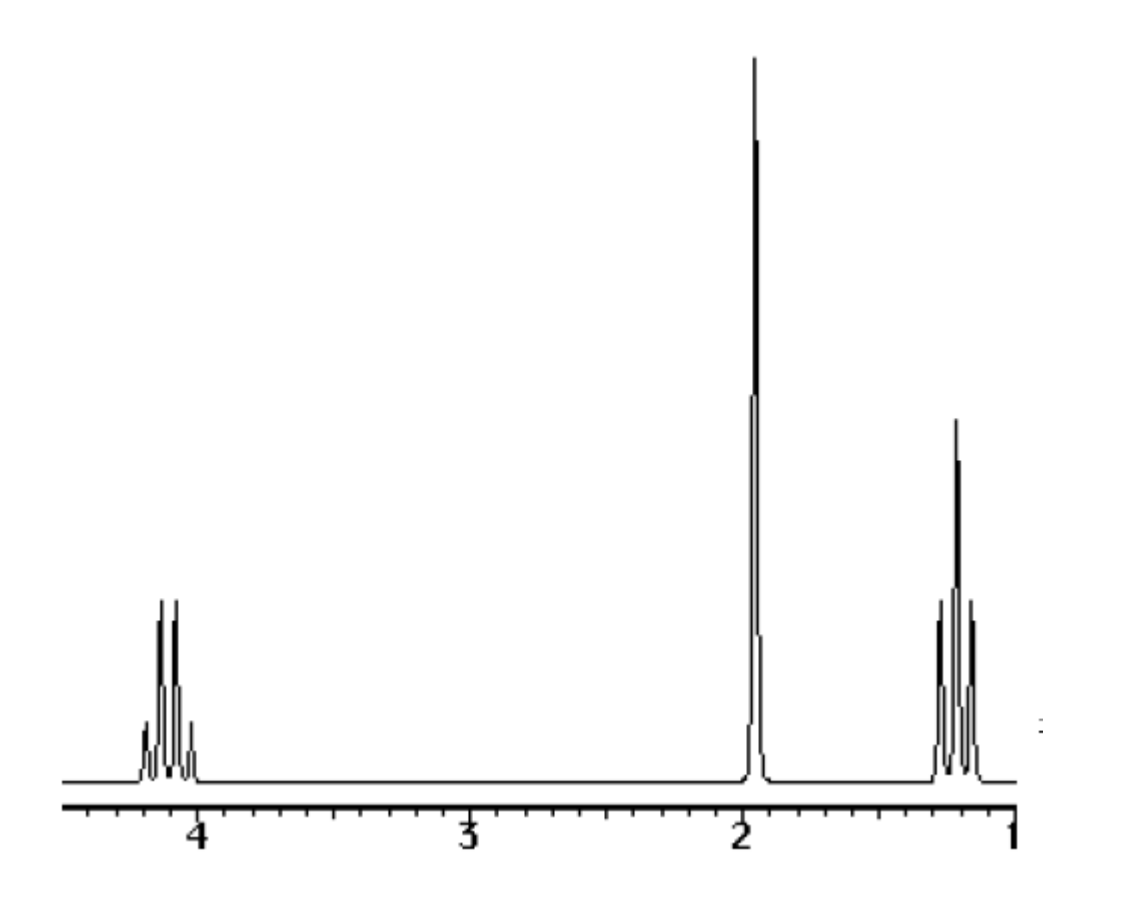
# SPECTROSCOPIE DE RESONANCE MAGNETIQUE NUCLEAIRE DU PROTON



RMN <sup>1</sup>H

La Résonance Magnétique Nucléaire (RMN) est une technique assez récente (travaux de Bloch et Purcell dans les années 1950)

La RMN constitue actuellement la technique la plus puissante et la plus générale d'analyse structurale des composés organiques.

Le principe de la RMN est relativement simple.

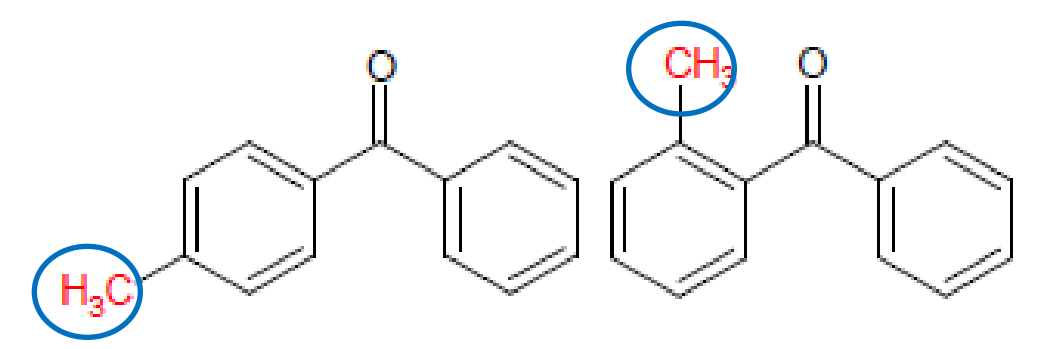
La théorie est toutefois assez complexe.

(traitement mathématique et physique du

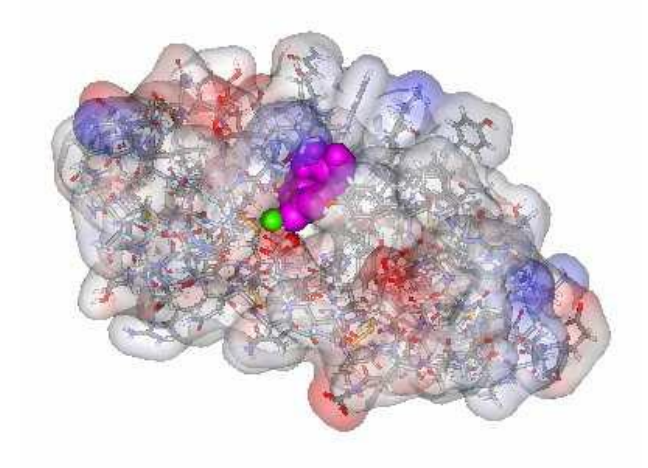
phénomène lourd)

La RMN est née en 1946 et a explosé vers de multiples applications :

- la chimie avec l'élaboration des structures chimiques et la dynamique moléculaire,



4-méthylbenzophénone ou 2-méthylbenzophénone ??



Complexe aspirine – phospholipase A2

- le domaine médical avec l'Imagerie par

Résonance Magnétique (IRM)...



Le qualificatif
"Nucléaire" a disparu de l'intitulé pour ne pas effrayer (à tort!) les malades...

#### Définition de la RMN

Mesure de l'absorption d'une radiation dans le domaine des fréquences radio par un noyau atomique placé dans un champ magnétique fort.

						λ/	'
Optim town Other Other Other Other I'm IOW							
rayons γ	rayons X	NO.	Visible	R	radar	télé	radio
		ondes lumineuses			ondes hertziennes		
	transitions électroniques						
	interne	che e-co e péri <sub>l</sub>	ouche phérique				
Energie, fréquence v							

 $10^7 - 10^6$  Hz ou  $\lambda \approx 10^4$  cm énergies  $\approx 5.10^{-2}$  J.mol<sup>-1</sup>

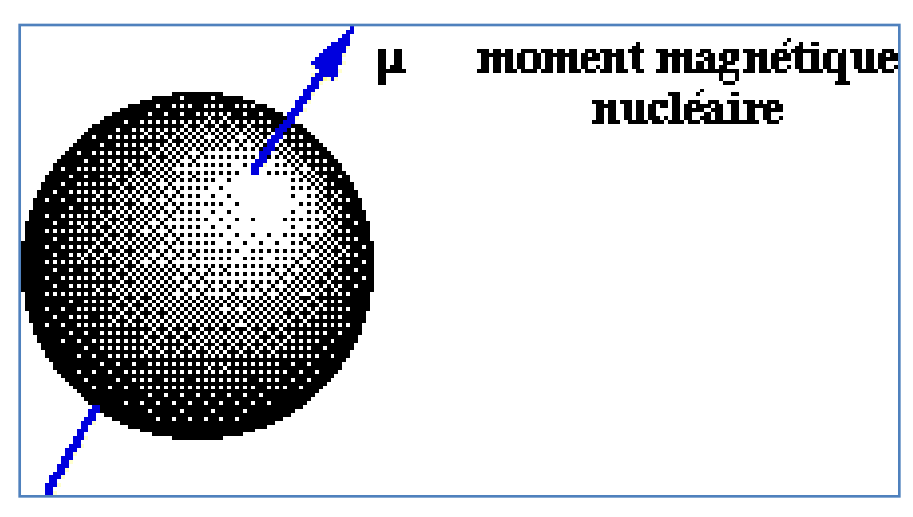
# Principe de la RMN

Interaction du moment dipolaire magnétique de la matière avec la composante magnétique de la radiation électromagnétique

# II - THEORIE

# II.1 - Propriétés des noyaux

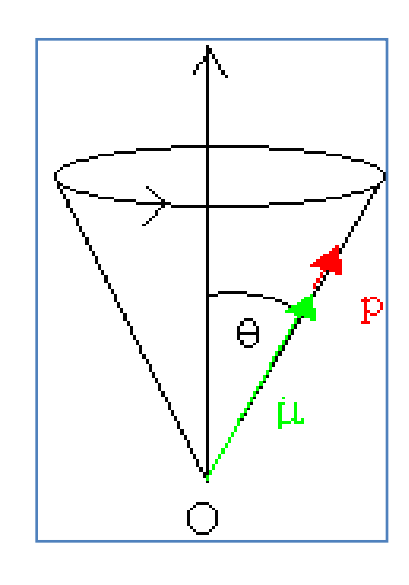
- ightharpoonup Noyau = particule sphérique chargée tournant autour d'un axe, de moment cinétique  $\overrightarrow{P}$
- $\gt$  A  $\vec{P}$  on associe un moment magnétique  $\vec{\mu}$



# II.1 - Propriétés des noyaux

 $ec{\mu}$  colinéaire à  $ec{\mathbf{P}}$  et de facteur de proportionnalité  $oldsymbol{\gamma}$ 





$$\vec{\mu} = \gamma \; \vec{P}$$

: rapport gyromagnétique dépendant du noyau

# II.1 - Propriétés des noyaux

 $\triangleright$  Les valeurs de  $\vec{P}$  et de  $\mu$  sont quantifiées :

$$|\vec{\mathbf{P}} = \hbar |\vec{\mathbf{I}}|$$
  $|\hbar = \frac{\mathbf{h}}{2\pi}|$ 

$$\hbar = \frac{\mathbf{h}}{2\pi}$$

$$\vec{\mu} = \gamma \vec{P}$$

$$\vec{\mu} = \gamma \hbar \vec{I}$$
,  $\vec{I}$ : vecteur spin nucléaire

Le nombre quantique de spin nucléaire I peut avoir une valeur égale à 0, 1/2, 1, 3/2...

# II.1 - Propriétés des noyaux

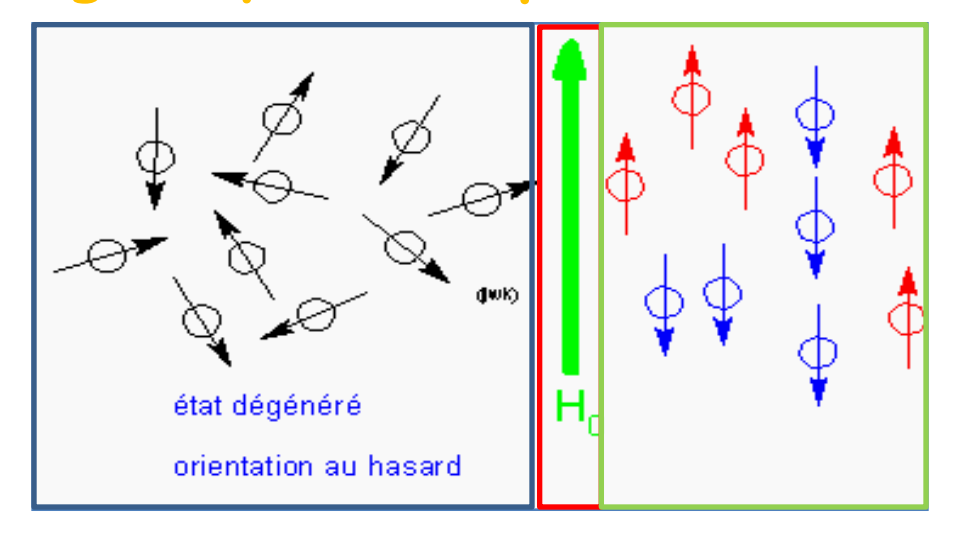
> Un noyau peut être étudié par RMN si son spin nucléaire I est non nul.

I est un demi entier	I=1/2 <sup>1</sup> H, <sup>19</sup> F, <sup>13</sup> C, <sup>31</sup> P I=3/2 <sup>11</sup> B, <sup>23</sup> Na I=5/2 <sup>17</sup> O, <sup>27</sup> Al
I est un entier	I=1 <sup>2</sup> H, <sup>14</sup> N I=3 <sup>10</sup> B
I est nul	I=O 12C, 16O

### II. 2 - Interaction spin nucléaire - champ magnétique

En l'absence de champ magnétique externe, les moments magnétiques de spin sont orientés

au hasard.



Plongés dans un champ magnétique

Moments magnétiques alignées selon la direction du champ imposé

### II. 2 - Interaction spin nucléaire - champ magnétique

(2I+1) orientations possibles du moment magnétique



(2I+1) niveaux énergétiques



différentes valeurs du nombre quantique magnétique m<sub>I</sub> :

$$m_{I} = I, I-1, I-2,... -I$$

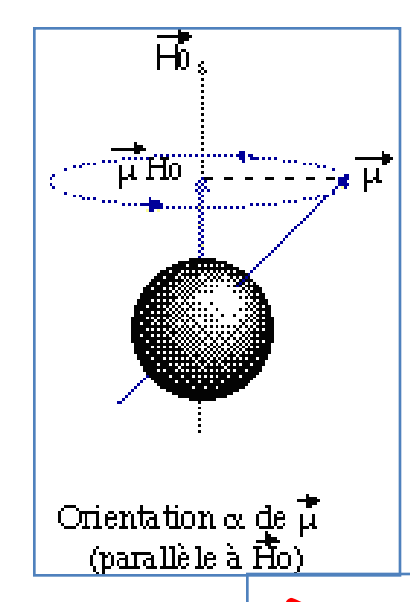
# Cas du proton

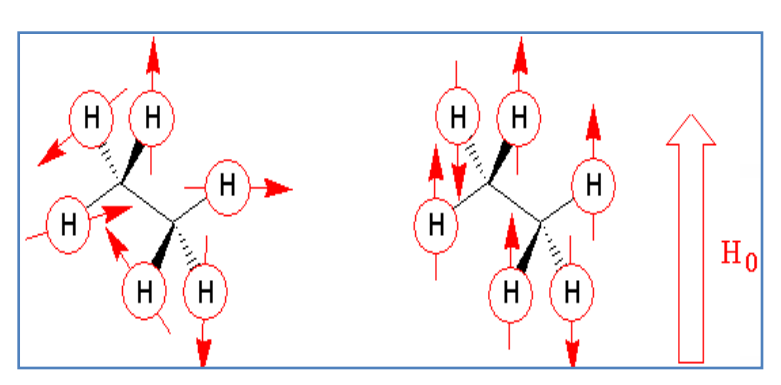
$$m_{I} = I, I-1, I-2,... -I$$

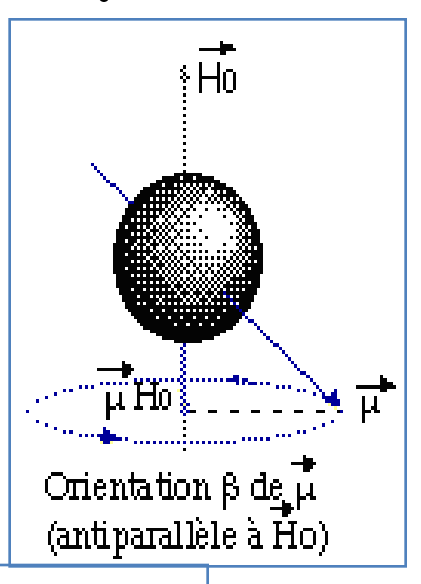
$$m_T = I = 1/2$$
 et  $m_T = I-1 = -1/2 = -I$ 

> parallèle 1

> anti-parallèle ↓







Deux orientations par rapport au champ magnétique externe

# Deux états $\alpha$ et $\beta$ : $E = - \mu.H_0$

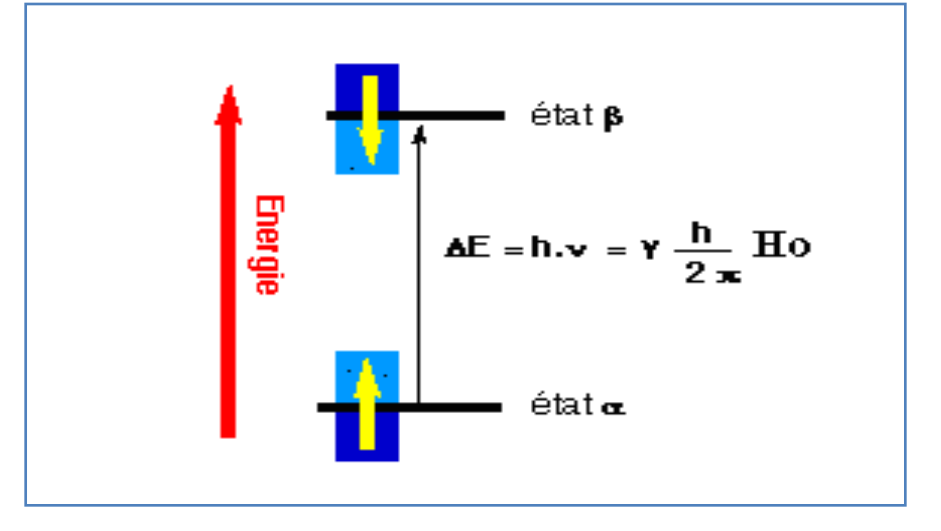
I parallèle au champ

$$\mu = \gamma \hbar I$$

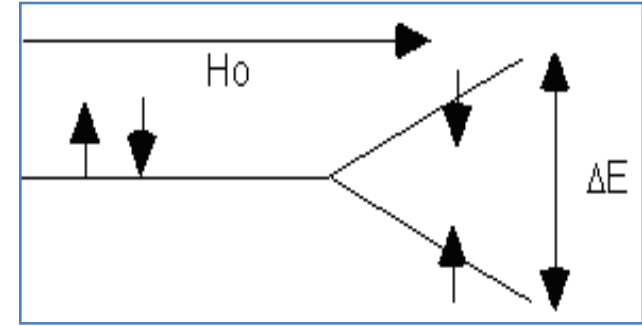
Etats énergétiques possibles pour H

I anti-parallèle au champ

$$\mu = -\gamma \hbar \mathbf{I}$$



 $\Delta E$  entre les deux états dépend de la force du champ magnétique  $H_0$ :



#### Énergie des spins

Elle dépend du noyau et du champ magnétique  $B_0$ .

$$E_{\alpha} = -\frac{1}{2} \cdot \frac{\mathbf{h} \cdot \mathbf{\gamma} \cdot \mathbf{B}_{0}}{2\pi}$$

$$E_{\beta} = + \frac{1}{2} \cdot \frac{\mathbf{h} \cdot \mathbf{\gamma} \cdot \mathbf{B}_0}{2\pi}$$

$$\Delta E = \frac{h \cdot \gamma \cdot B_0}{2\pi}$$

$$E \rightarrow Energie (J)$$

 $h \rightarrow constante de Planck (6,63.10^{-34} J.s)$ 

γ → rapport gyromagnétique (dépend du noyau) (rad.s-1.T-1)

B<sub>0</sub> → champ magnétique (Tesla, T)

 $\pi \rightarrow \text{radian}$ , rad

$$^{1}$$
H :  $\gamma = 26,75.10^{7}$  rad.s<sup>-1</sup>.T<sup>-1</sup>

<sup>13</sup>C: 
$$\gamma = 6,725.10^7 \text{ rad.s}^{-1}.\text{T}^{-1}$$

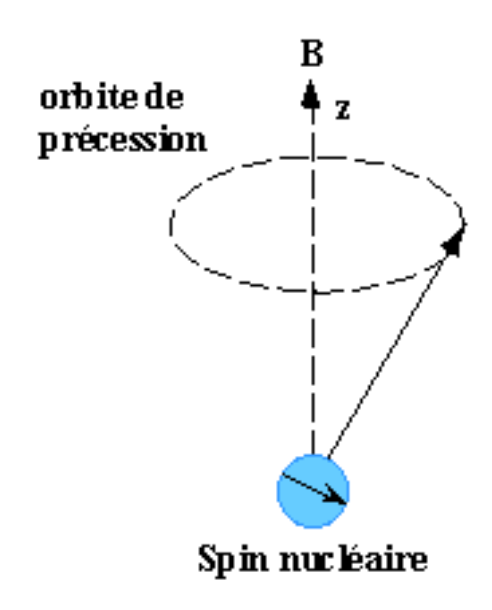


Plus γ est important, plus le noyau est sensible

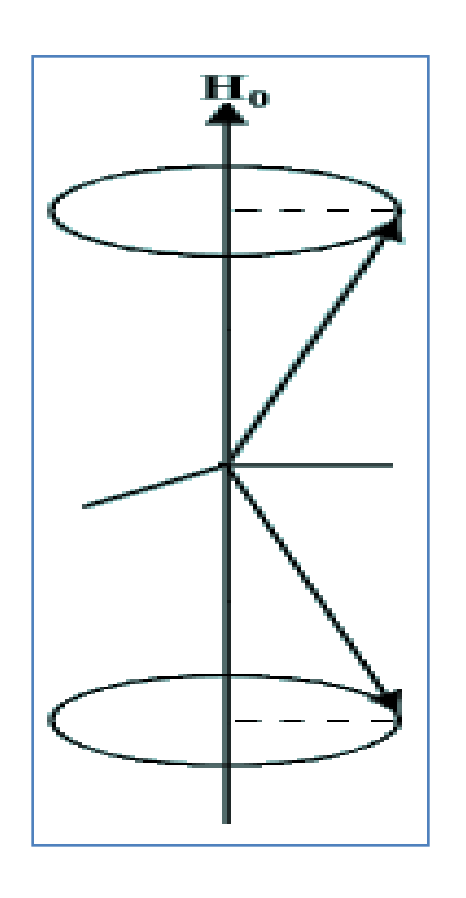
#### II.3 - Condition de résonance

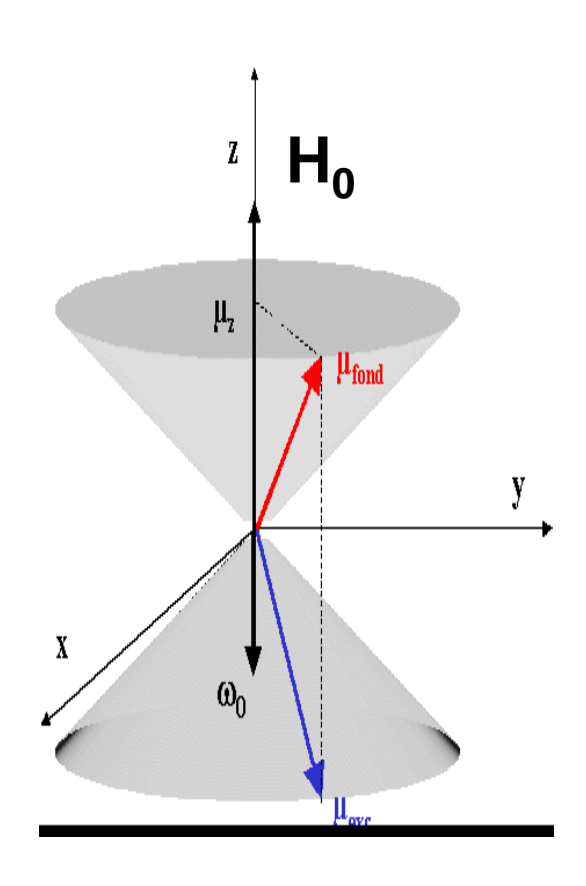
Cas de la RMN du proton : RMN  ${}^{1}H$  (I =  $\frac{1}{2}$ )

Proton en rotation  $\Rightarrow$  mouvement de précession autour de l'axe du champ magnétique externe  $H_0$  de vitesse angulaire  $\omega_0$ 



# Pour H: 2 états de spin





- ightharpoonup Mouvement de précession avec vitesse angulaire  $\omega_0$
- $\omega_0$  proportionnelle au champ :  $\omega_0 = \gamma.H_0$
- $\triangleright$  D'autre part,  $\omega_0 = 2 \pi v_0$



$$\mathbf{v}_0 = \frac{\mathbf{\omega}_0}{2\pi} = \frac{\mathbf{\gamma} \mathbf{H}_0}{2\pi}$$

Fréquence de LARMOR

C'est une relation fondamentale de la RMN.

$$\mathbf{v}_0 = \frac{\mathbf{\omega}_0}{2\pi} = \frac{\mathbf{\gamma} \mathbf{H}_0}{2\pi}$$

v<sub>0</sub>: Féquence de LARMOR (s<sup>-1</sup> ou Hz)

 $\gamma$ : rapport gyromagnétique (rad.s<sup>-1</sup>.T<sup>-1</sup>)

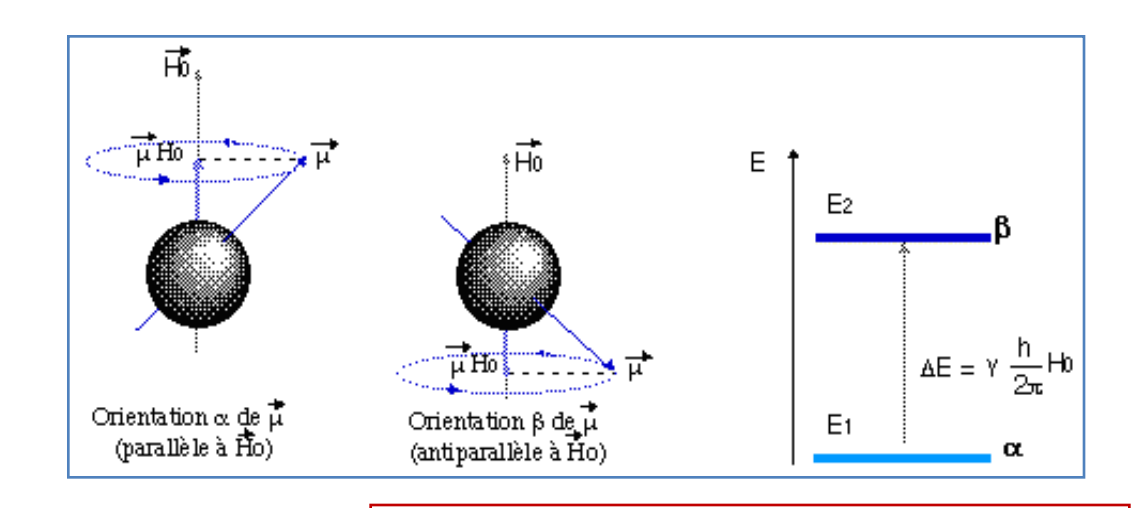
 $H_0$ : Champ magnétique (T, Tesla)

 $\pi$ : rad, radian

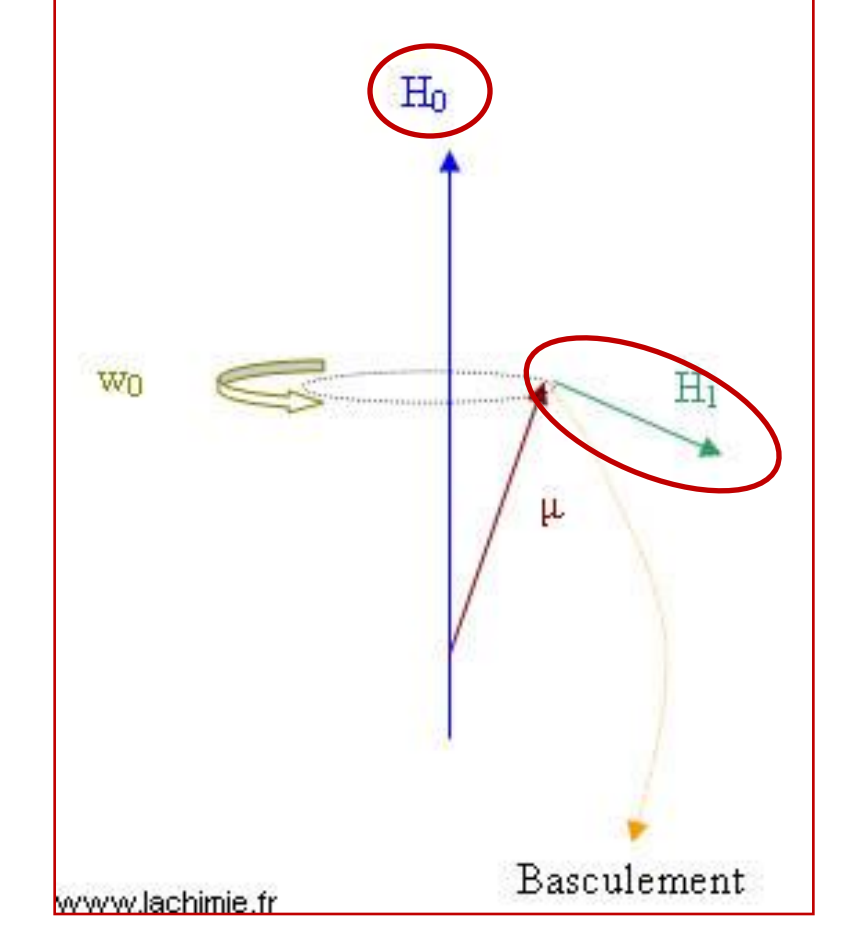
Il est possible d'effectuer une transition entre les deux niveaux en fournissant au noyau l'énergie électromagnétique

$$h v_0 = \gamma . \frac{h}{2\pi} . H_0$$

$$hv_0 = \gamma \cdot \frac{h}{2\pi} \cdot H_0$$



L'énergie nécessaire pour passer d'un niveau à l'autre est fournie par un champ  $\vec{H}_1$  disposé perpendiculairement à  $\vec{H}_0$ 



# La fréquence de transition se situe dans le domaine des ondes radio

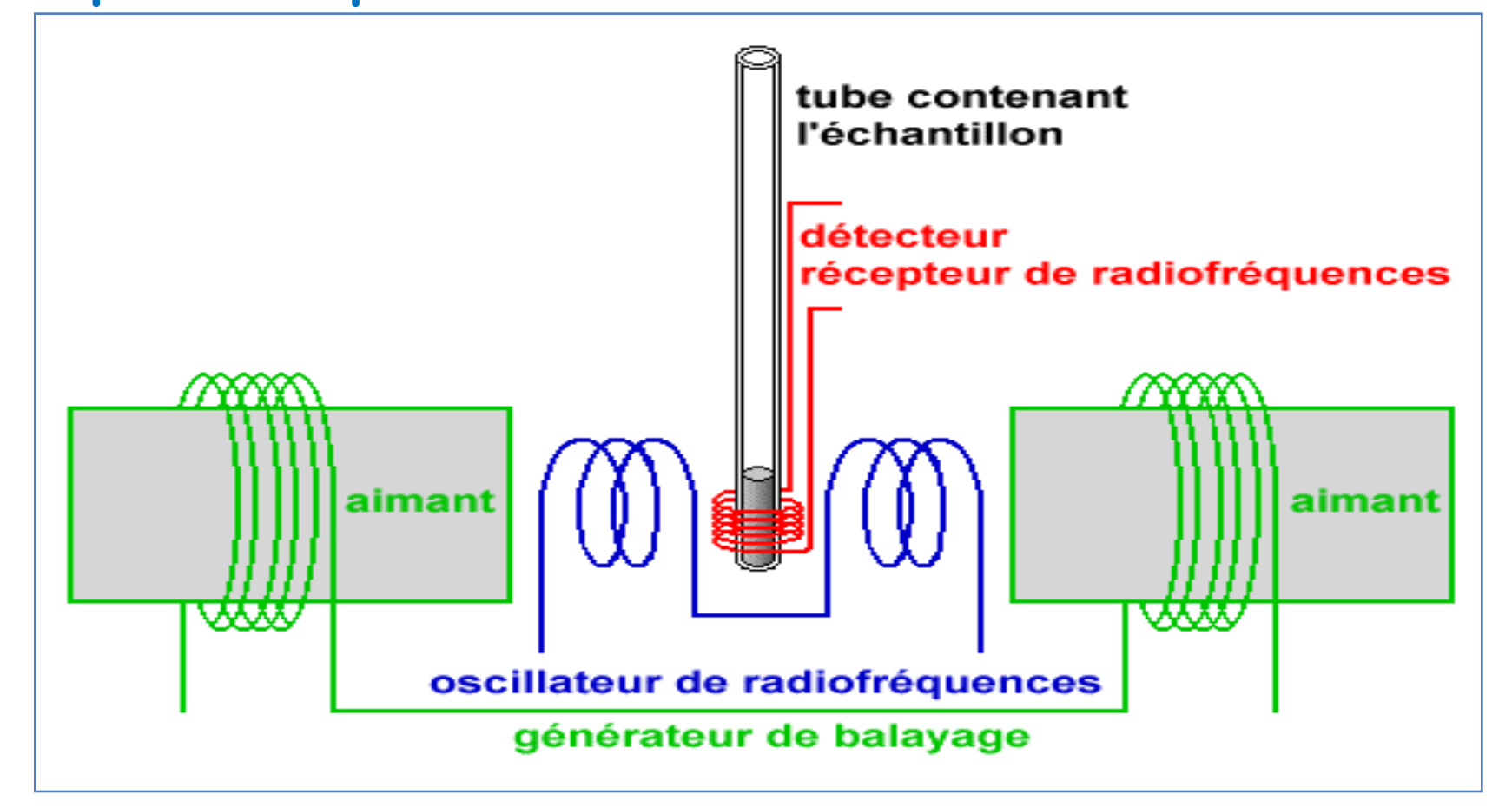
Transition: résonance du noyau

# III - TECHNIQUES EXPERIMENTALES III.1 - Principe

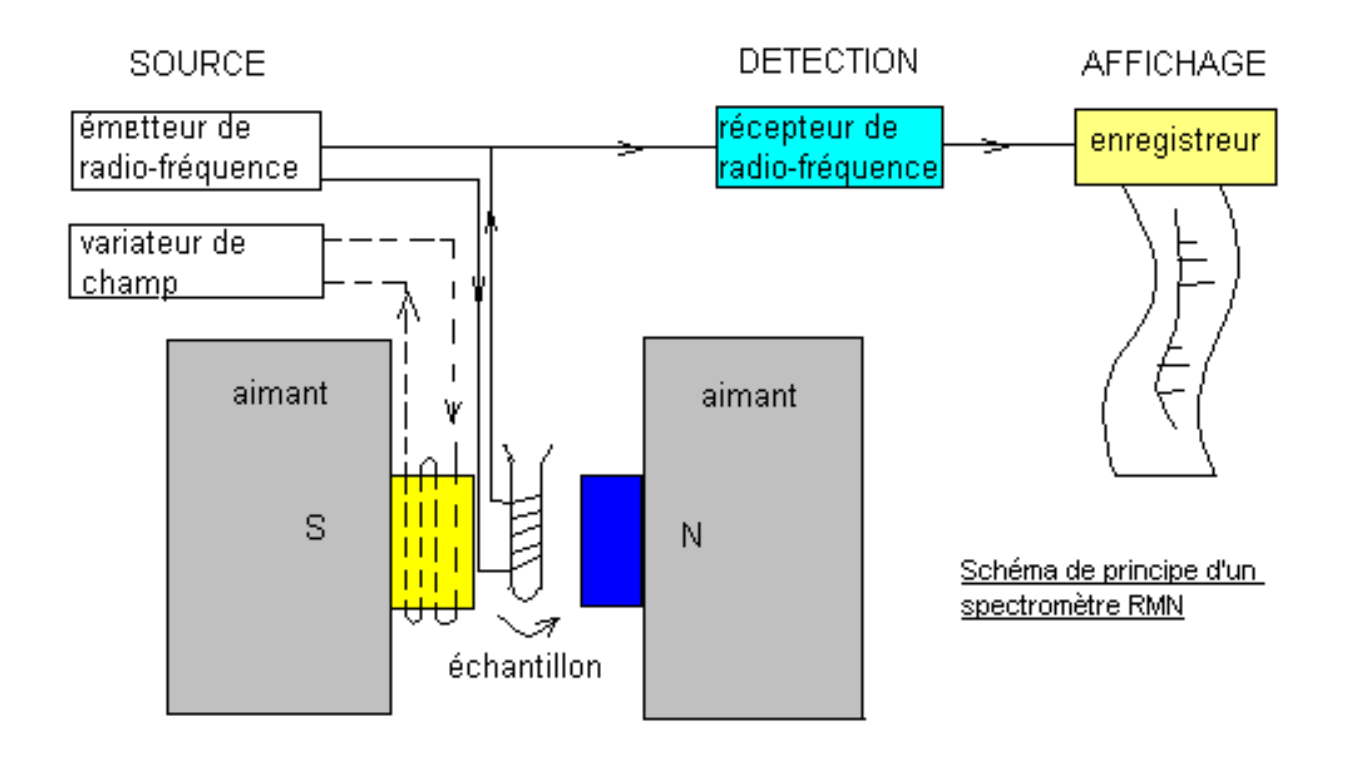
La RMN met en jeu 2 phénomènes distincts mais simultanés:

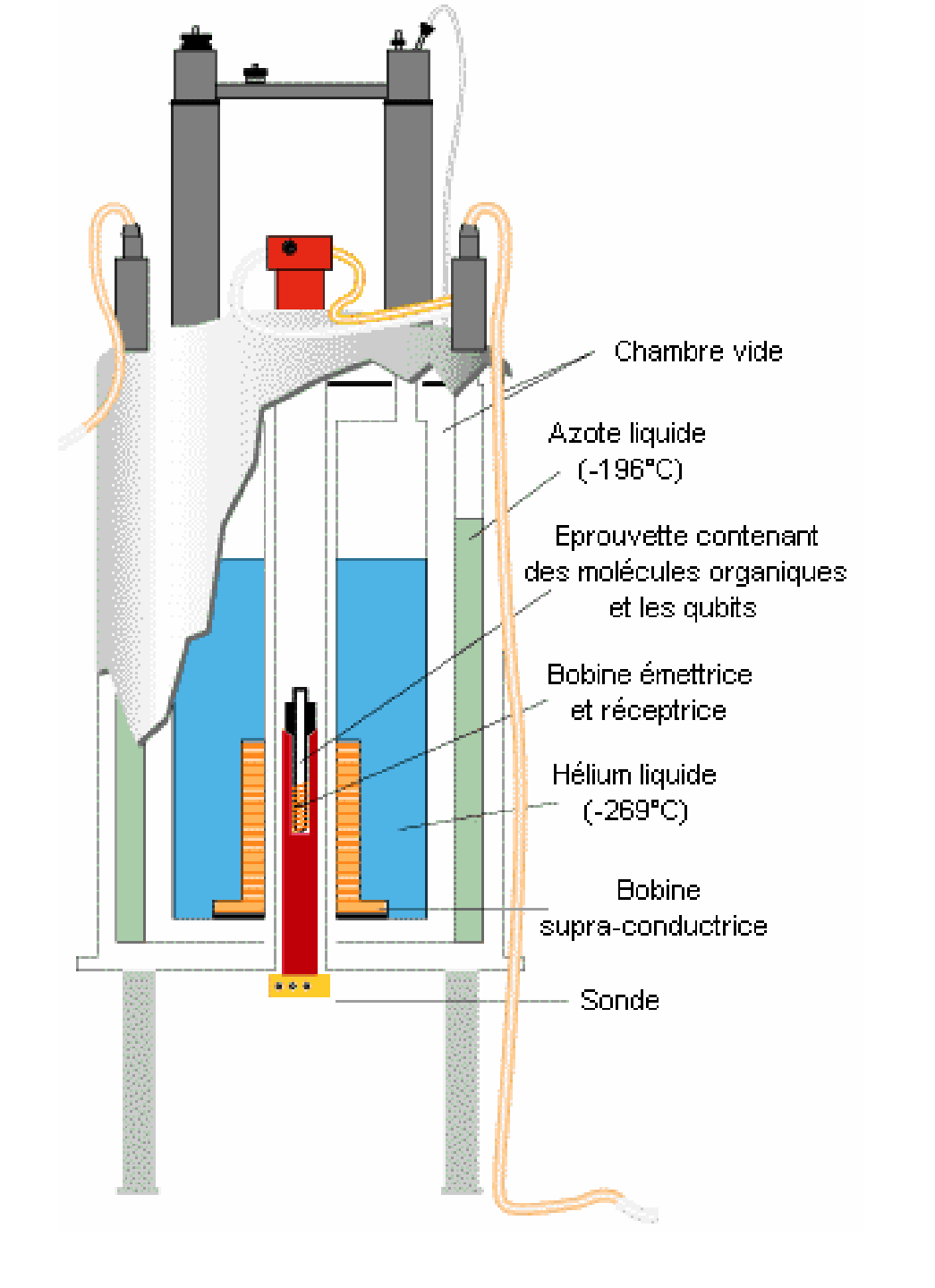
- 1. Perturbation de l'état d'équilibre (excitation)
  - 2. Retour à l'équilibre (relaxation)

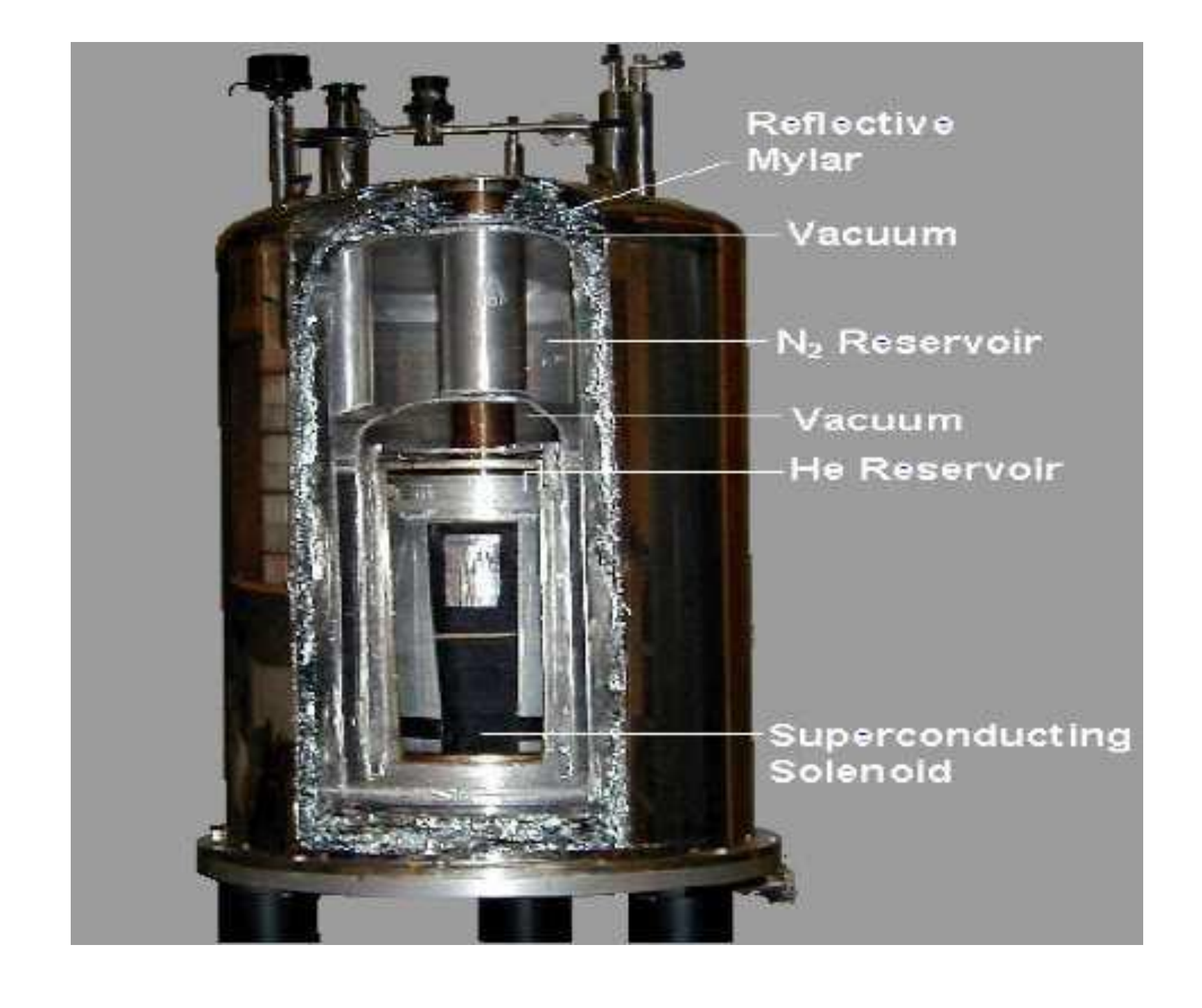
#### Dispositif expérimental:



Une bobine est placé à proximité de l'échantillon. Elle émet une onde électromagnétique dont la fréquence est judicieusement choisie  $\Delta E = hv_0$ 









III - TECHNIQUES EXPERIMENTALES III.2 - Appareillage

Deux types de spectromètres RMN

Spectromètre à balayage ou à onde continue

Spectromètre à transformée de Fourier

# III.2.1 - Spectromètre à onde continue PRINCIPE

# Méthode classique:

- balayer la plage de fréquence que l'on désire étudier
- champ magnétique H<sub>0</sub> maintenu constant, ce qui garde les niveaux d'énergie des spins nucléaires constants

Inconvénient principal de la technique à onde continue : beaucoup de temps pour enregistrer un spectre

- > Pour un proton placé dans champ magnétique fixe
- pour qu'il y ait passage d'un état de spin à un autre, il faut faire varier la fréquence v de la radiation électromagnétique de sorte
- que cette fréquence soit égale à la
- fréquence de précession de ce proton.

# Description simple

- ➤ Un aimant fournissant le champ H<sub>0</sub> sépare les états d'énergie du spin nucléaire.
- L'échantillon à analyser est placé au centre de l'aimant, dans une sonde qui contient une bobine émettrice et une bobine réceptrice.

- ➤ La bobine émettrice fournit le champ oscillant H<sub>1</sub> à la fréquence de Larmor pour le noyau considéré.
- On fait varier la fréquence jusqu'à la résonance :
   basculement du spin nucléaire de l'état α à l'état β.

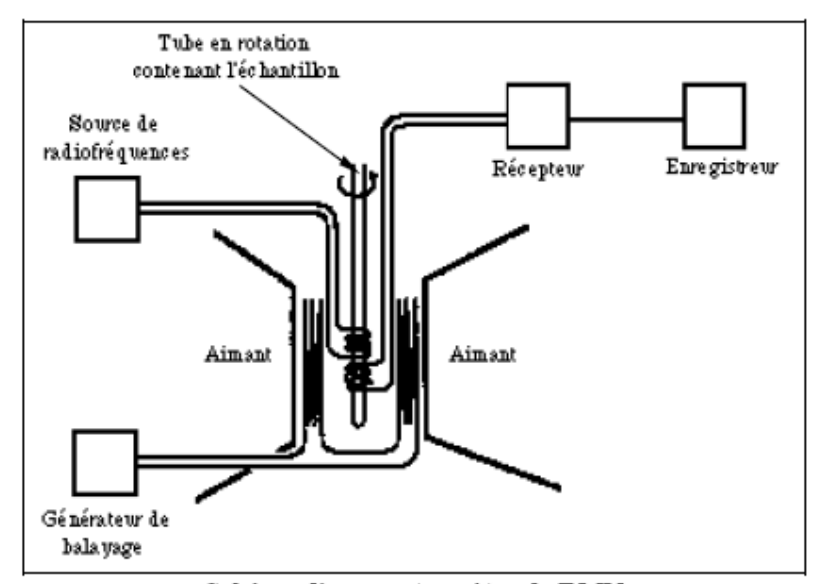


Schéma d'un spectromètre de RMN

- ➤ On mesure au moment de la résonance une augmentation de courant qui traduit l'énergie absorbée
   △E par l'intermédiaire de la bobine réceptrice.
  - Ce signal, très amplifié, se traduit par un "pic" sur l'enregistreur.

#### III.2.2 - Appareil RMN à transformée de Fourier

- Une pulsation de radiation (radiofréquence RF) provoque le retournement des spins des noyaux atomiques dans le niveau d'énergie supérieur.
- > Les noyaux atomiques sont stimulés simultanément.
- > Un signal de RF est émis lorsque les noyaux atomiques retournent à leur état d'origine.
- > Signal détecté avec une bobine de récepteur radio perpendiculaire au champ magnétique statique
- > Signal numérisé et enregistré sur un ordinateur
- > Résultat ensuite converti en un signal de fréquence par une transformée de Fourier

Spectre résultant similaire au spectre produit par balayage

# III.3 - EchantillonnageIII.3.1 - Echantillons

## RMN en solution

> RMN<sup>1</sup>H: quantité de produit nécessaire de 10 à 50 mg

 Placé dans une tube en verre (probe) mis en rotation au centre d'une bobine magnétique afin d'homogénéiser le champ dans l'échantillon

longueur du tube : 18 cm

diamètre externe: 5 mm

diamètre interne : 4 mm

#### III.3.2 - Solvants

- > Solvant choisi pour l'étude des spectres dépourvu d'atomes d'hydrogène
- Solvant le plus courant : chloroforme deutérié (CDCl<sub>3</sub>)

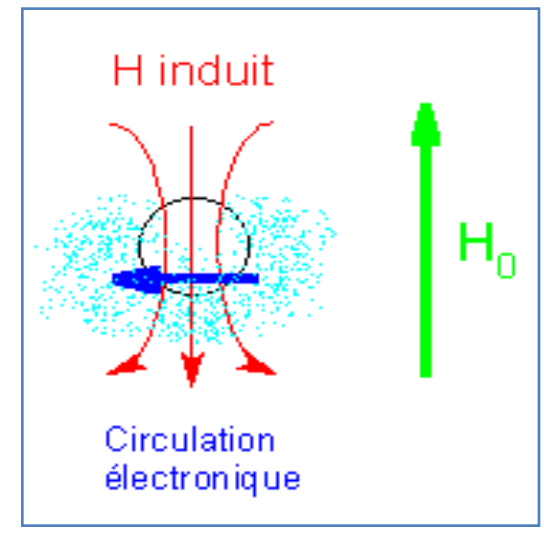
```
AUTRES SOLVANTS:

tétrachlorure de carbone CCl<sub>4</sub>
acétone-d<sub>6</sub>
méthanol-d<sub>4</sub>
pyridine-d<sub>5</sub>
eau lourde (D<sub>2</sub>O)...
```

## IV - DEPLACEMENT CHIMIQUE IV.1 - Champ induit et constante d'écran

- > Si molécule soumise à un champ magnétique externe H<sub>0</sub>
  - → Action du champ sur les spins nucléaires

induction d'une circulation des électrons autour du proton dans un plan  $\perp$  à  $H_0$ 



⇒ champ magnétique induit hi

La fréquence de résonance d'un noyau est affectée par la présence des électrons environnants.

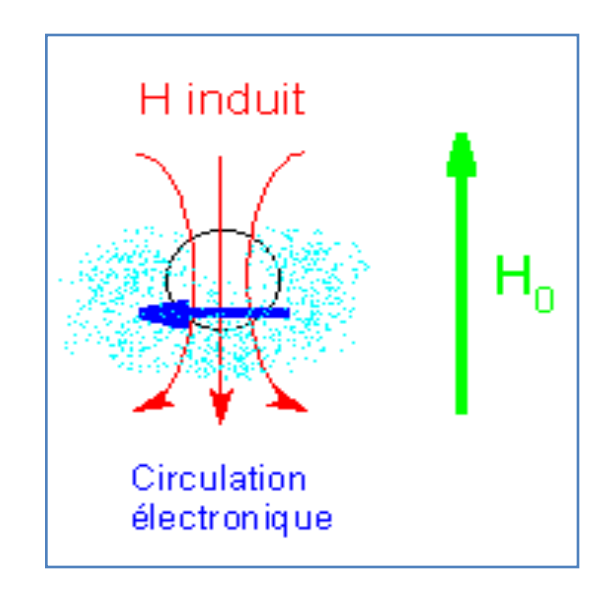
$$hv_0 = \gamma \cdot \frac{h}{2\pi} \cdot H_0$$

> Un noyau soumis au champ magnétique  $\vec{H}_0$  résonne à  $\mathbf{v}_0$ .

### MAIS

### Noyau protégé par son nuage électronique

> Nuage électronique crée un champ  $ec{f h}_{i}=-oldsymbol{\sigma}_{i}ec{f H}_{o}$ 



 $\sigma_i$ : constante d'écran

> σ<sub>i</sub> dépend de la densité électronique autour du noyau i.

- $\Rightarrow$  Noyau i soumis au champ local  $H_i = H_0(1-\sigma_i)$
- ⇒ Fréquence de résonance :

Relation de Larmor 
$$\Rightarrow$$
  $v_i = \gamma \frac{H_0}{2\pi} (1 - \sigma_i)$ 

- + o grande
- + le champ H<sub>1</sub> nécessaire à la résonance sera

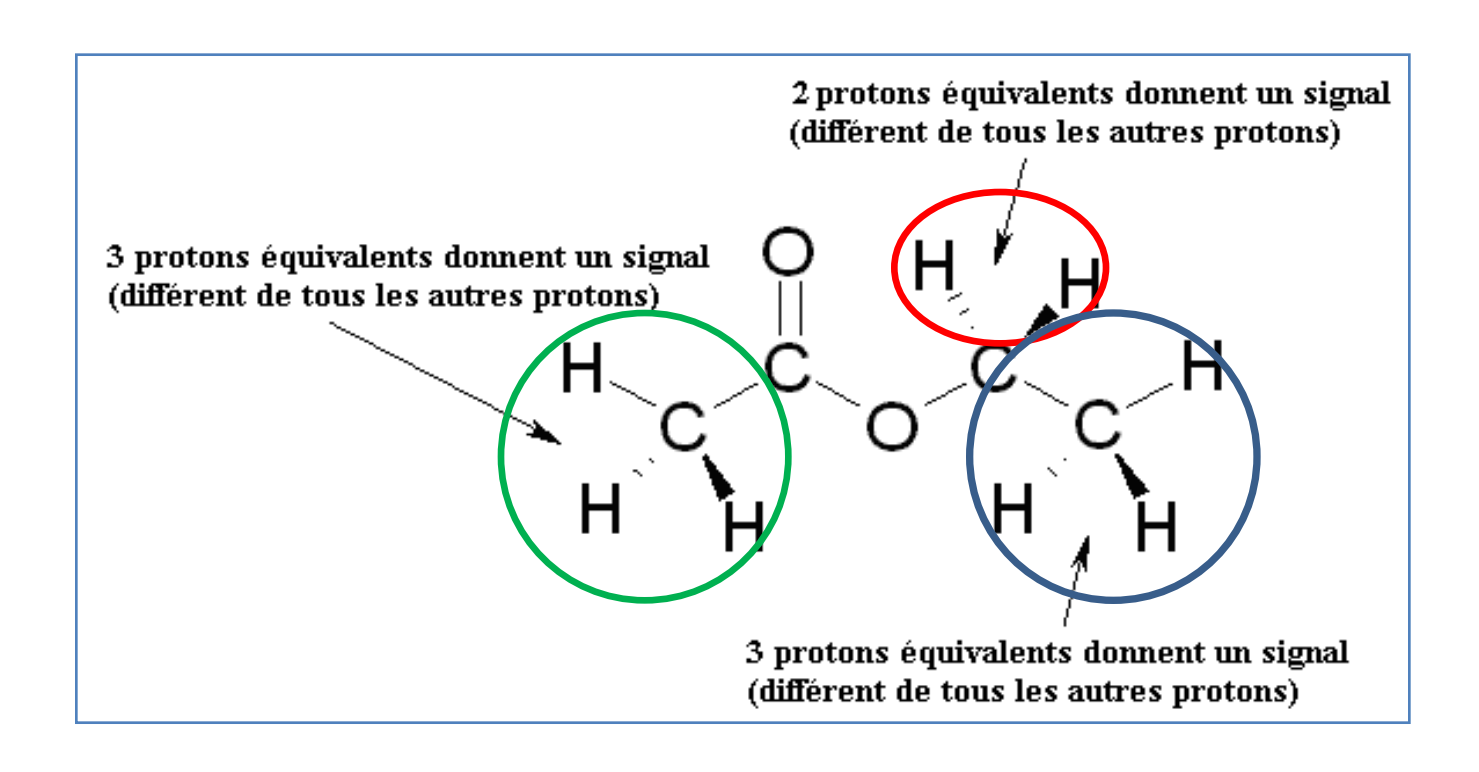
$$\nu_i = \gamma \frac{H_0}{2\pi} (1 - \sigma_i)$$

Protons de même environnement chimique : résonance pour le même champ : noyaux magnétiquement équivalents

Protons avec des environnements  $\neq$ : résonance à des fréquences différentes : noyaux magnétiquement différents

### Intérêt fondamental pour le chimiste

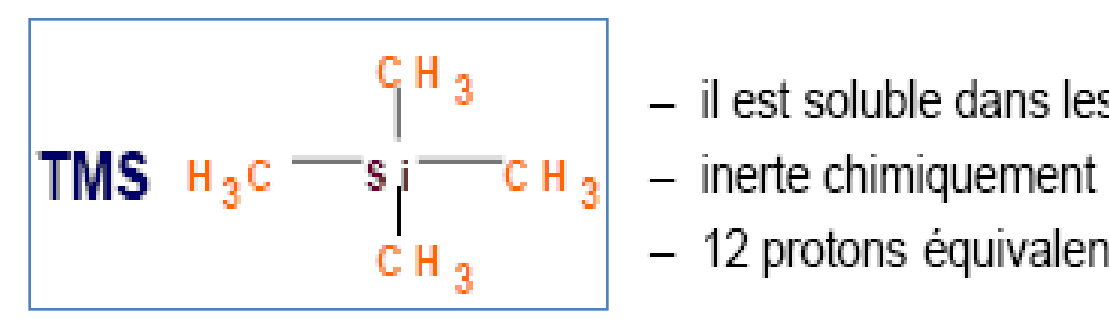
⇒ voir toutes les espèces de noyaux magnétiquement différents



### IV.2 - Mesure du déplacement chimique

Position des différentes raies :

- \* fonction de  $\sigma_i$
- \* par rapport à une référence
- > Cas du proton : La référence est le tétraméthylsilane noté TMS



- il est soluble dans les solvants organiques
- 12 protons équivalents

- > On introduit une échelle de notation : le
- déplacement chimique noté  $\delta_i$

$$\delta_i = \sigma_{ref} - \sigma_i$$

$$ightharpoonup$$
 Comme  $H_{ref} = H_0 - \sigma_{ref} H_0$   $\Rightarrow$   $\sigma_{ref} = \frac{H_0 - H_{ref}}{H_0}$ 

$$H_i = H_0 - \sigma_i H_0$$

$$H_{i} = H_{0} - \sigma_{i} H_{0} \quad \Rightarrow \quad \sigma_{i} = \frac{H_{0} - H_{i}}{H_{0}}$$

$$\Rightarrow$$

$$\delta_{i} = \frac{\mathbf{H}_{i} - \mathbf{H}_{ref}}{\mathbf{H}_{0}}$$

$$v_i = \gamma \frac{H_i}{2\pi}$$

$$\Rightarrow$$

$$|\mathbf{v}_{i} = \gamma \frac{\mathbf{H}_{i}}{2\pi}| \Rightarrow \delta_{i} = \frac{\mathbf{v}_{i} - \mathbf{v}_{ref}}{\mathbf{v}_{0}}$$

- $\delta_i$  de l'ordre du millionième
- Par commodité, exprimé en partie par million (ppm)

$$\delta_{\mathrm{ppm}} = rac{\mathbf{v_i} - \mathbf{v_{ref}}}{\mathbf{v_0}}.10^6$$
 sans dimension

- ▶ Puisque ŏ est caractéristique de l'environnement du proton
- $\Rightarrow$  identification des groupes de protons à partir de la valeur de  $\delta$

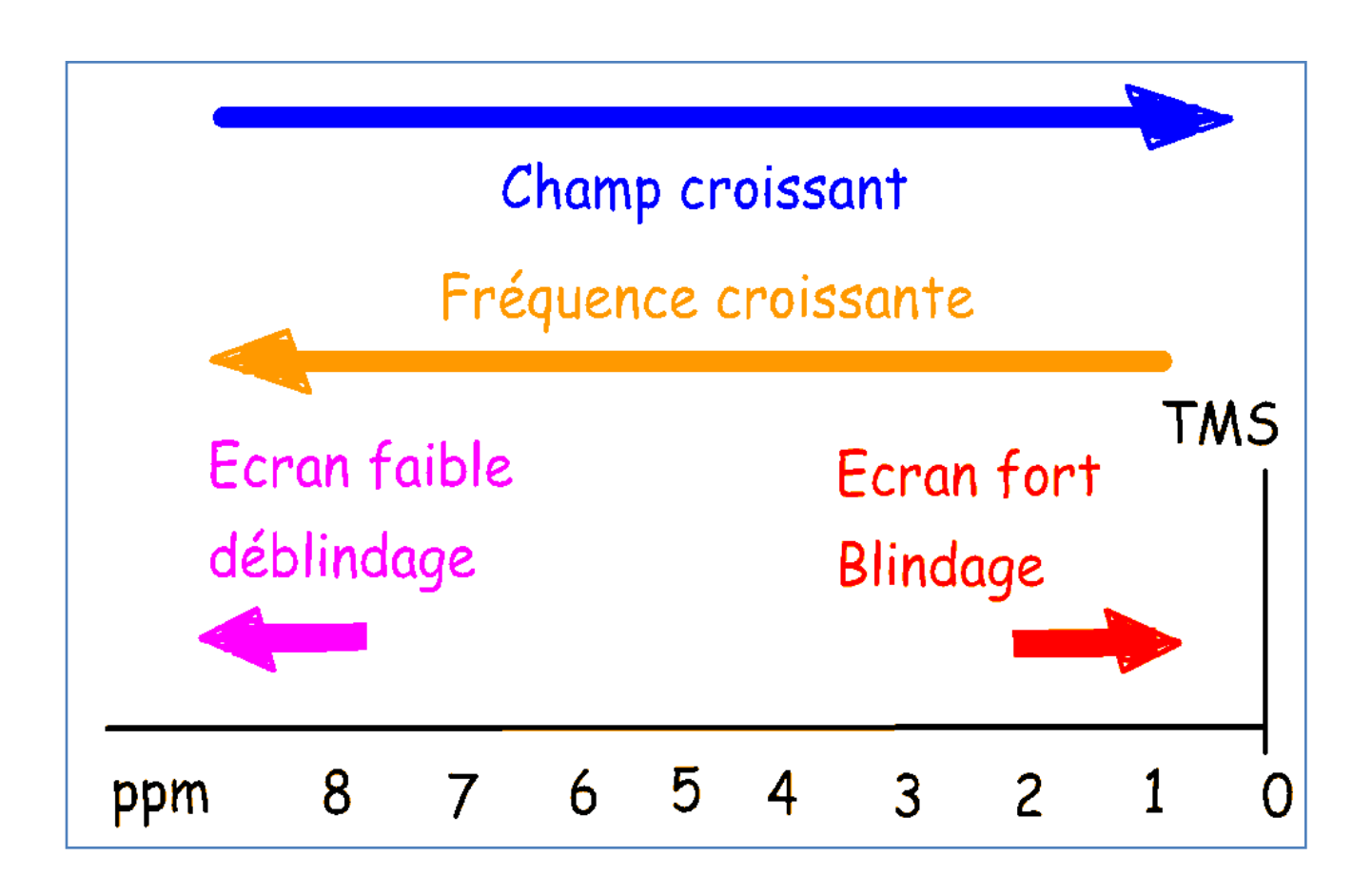
### > δ propriété moléculaire, indépendante du champ magnétique

Exemple: CH<sub>3</sub>Br

Force du champ	H <sub>0</sub> = 1,41 Tesla	H <sub>0</sub> = 2,35 Tesla
Radio-fréquence	60 MHz	100 MHz
Position par rapport à la référence	162 Hz	270 Hz
valeur de δ	2,70 ppm	2,70 ppm

### V - FACTEURS INFLUENCANT LE DEPLACEMENT CHIMIQUE

#### V.1 - Terminologie



### V - FACTEURS INFLUENCANT LE DEPLACEMENT CHIMIQUE

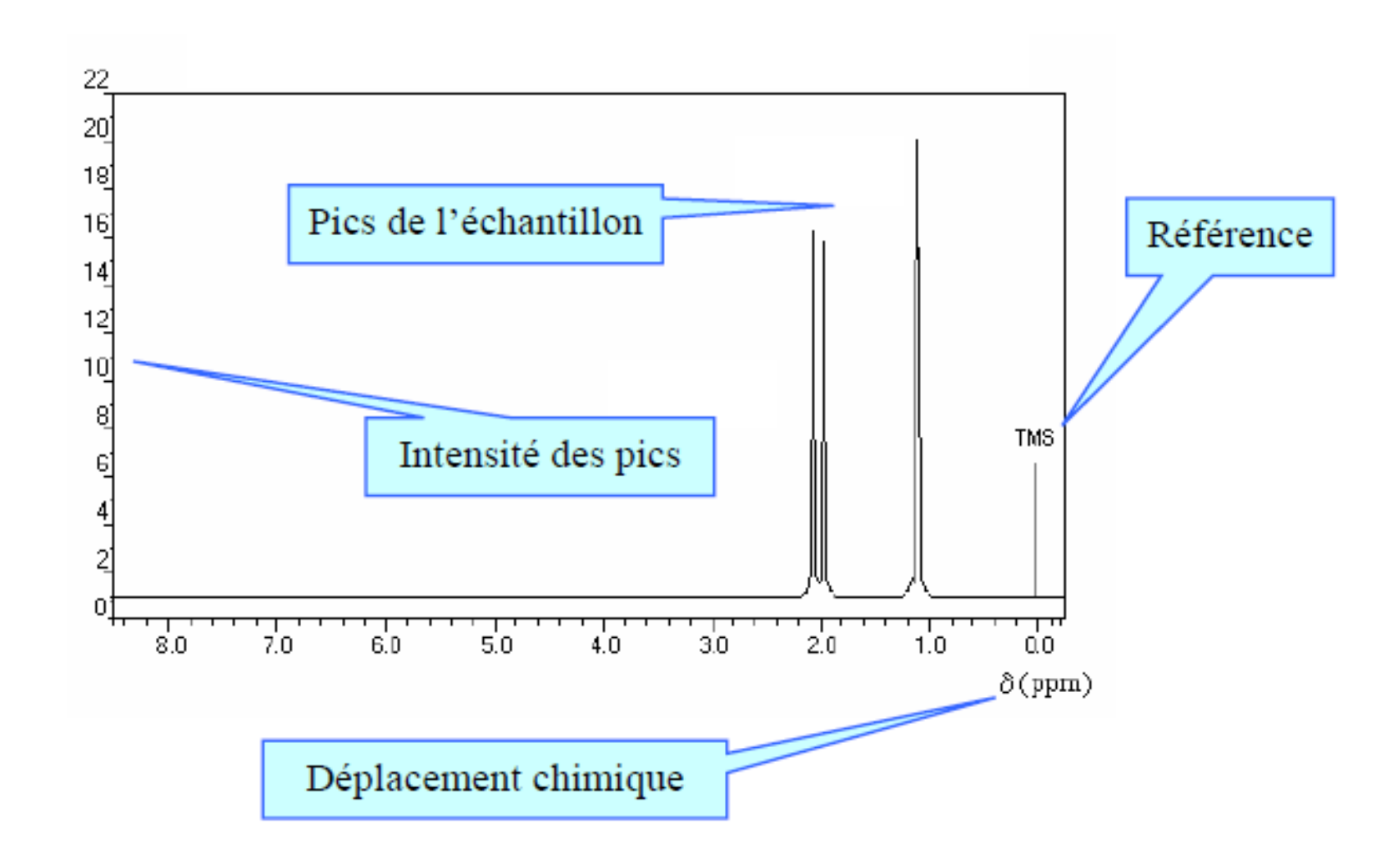
➤ Si le signal sort à un champ voisin de celui du TMS : à champ fort ⇔ Fort effet d'écran,

on dit il y a blindage ... signal blindé

> Inversement, si le signal a un  $\delta$  élevé : à champ faible  $\Leftrightarrow$  faible effet d'écran,

déblindage ou signal déblindé

#### Comment se présente un spectre RMN <sup>1</sup>H ?



- V.2 Facteurs affectant le déplacement chimique
  - δ dépend de l'environnement électronique  $\delta$  du noyau H

V.2.1 - Effets inductifs

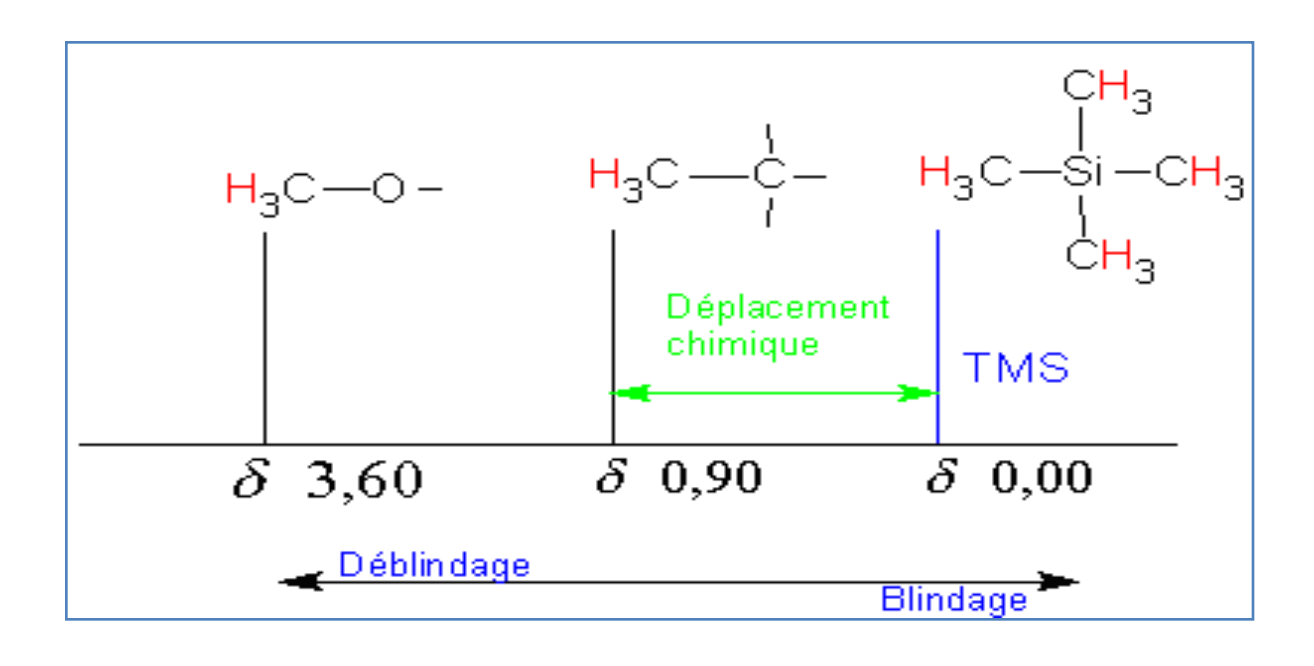
Eléments électronégatifs liés à C porteur de H

densité déplacement de électronique loin des H

$$\delta_i = \sigma_{ref} - \sigma_i$$

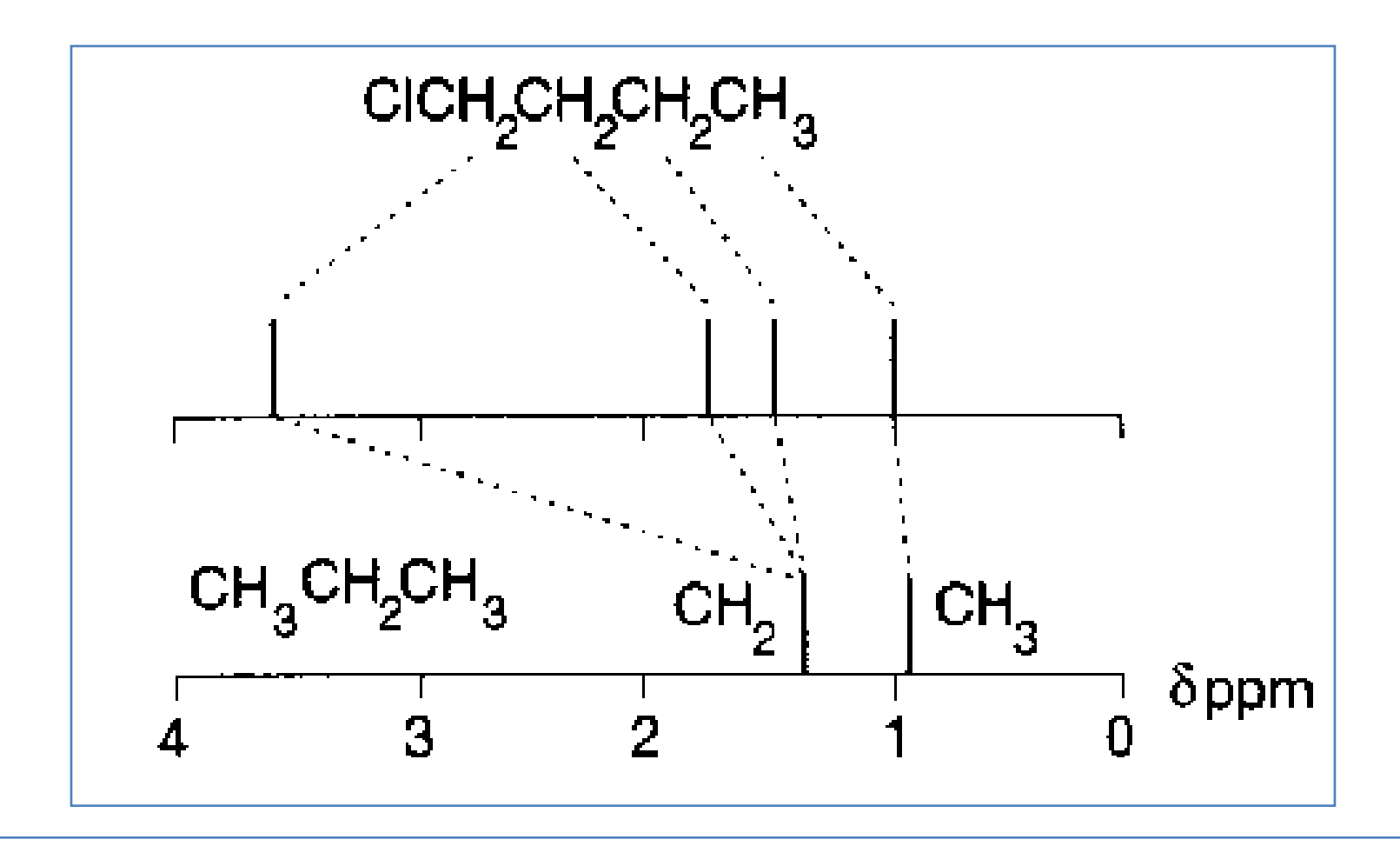
$$\sigma_{\rm i}$$
  $\Delta$ 

# Plus l'électronégativité augmente, plus les protons sont déblindés



Composé CH <sub>3</sub> X	CH <sub>3</sub> H	CH <sub>3</sub> I	CH <sub>3</sub> Br	CH <sub>3</sub> Cl	CH <sub>3</sub> F
Electronégativité de X	2,1	2,5	2,8	3,1	4,0
Déplacement chimique	0,23	2,16	2,68	3,05	4,26

### > Effet inductif propagé par les liaisons



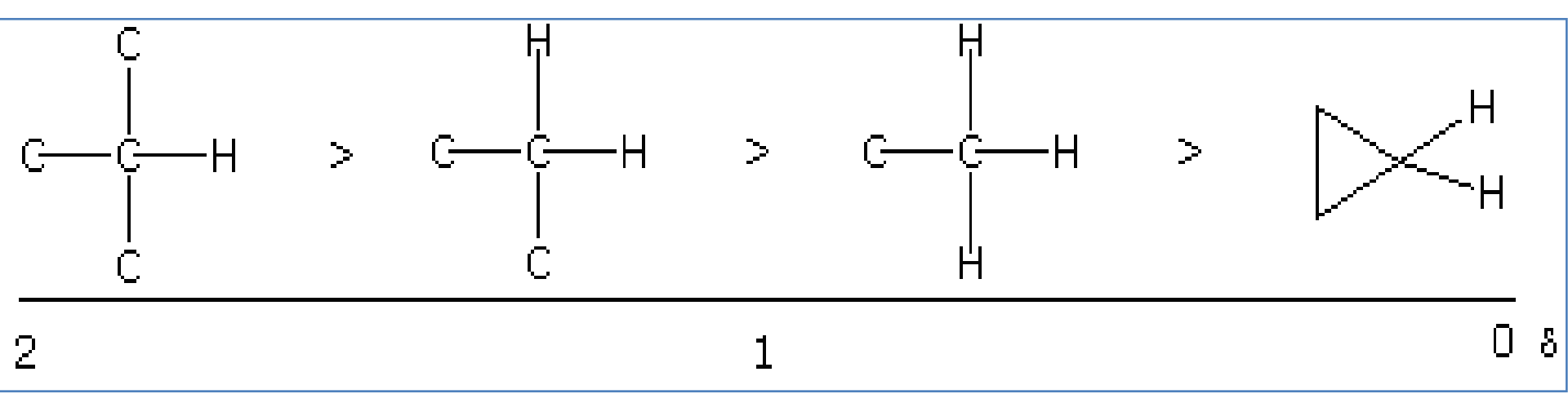
Effet plus faible à mesure que le nombre de liaisons interposées augmente

Effets similaires par allongement de la chaîne carbonée

$$\begin{array}{ccc} 0.23 & 0.80 & 0.91 \\ \text{H-CH}_3 & \text{H-CH}_2\text{-CH}_3 & \text{H-CH}_2\text{-CH}_2 \end{array}$$

## V.2.2 - Effet d'hybridation - Anisotropie magnétique des liaisons

Sans effets inductifs et mésomères :
 H attachés à des C sp³ résonnent à 0-2
 ppm

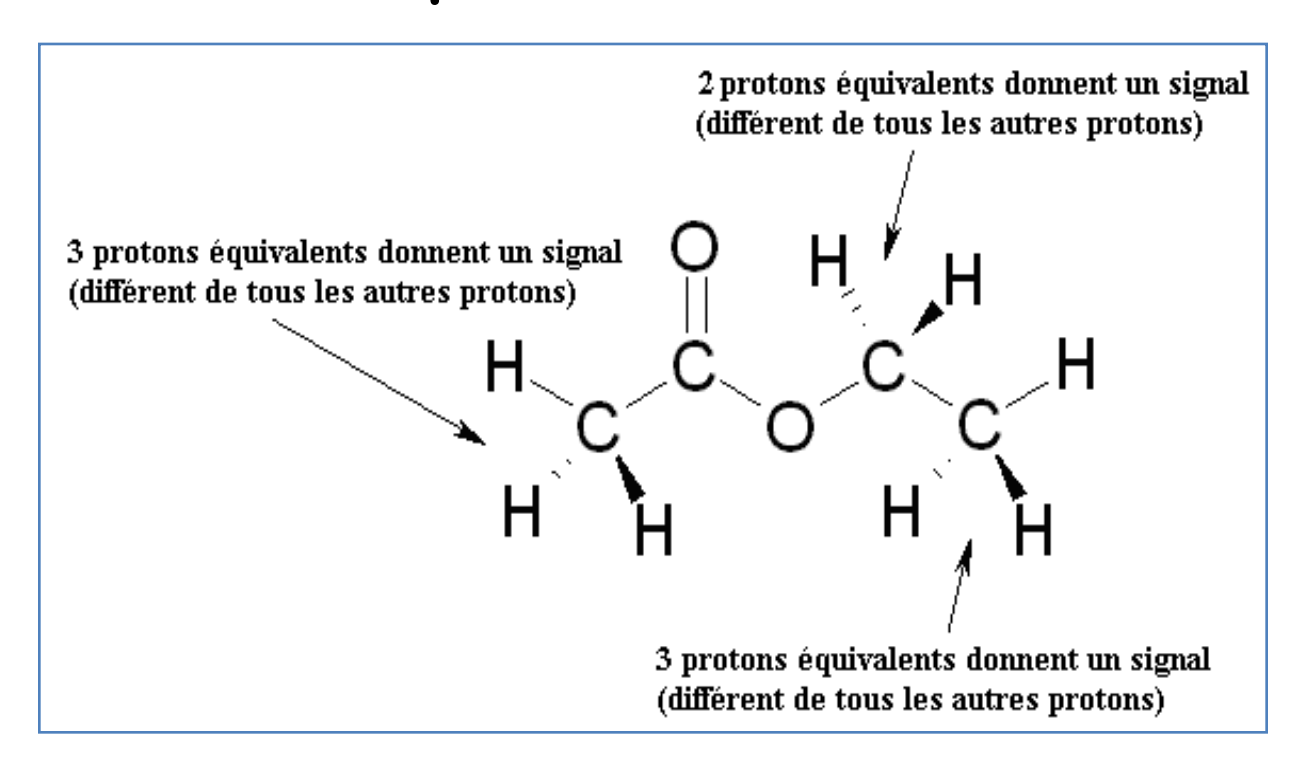


## V.2.2 - Effet d'hybridation - Anisotropie magnétique des liaisons

- > H liés à des carbones sp² résonnent à des champs plus faibles
  - $\delta$  dépend du type de C sp<sup>2</sup>
  - H acétyléniques (sp) résonnent à 2-3 ppm.

## > noyaux magnétiquement équivalents ou isochrones

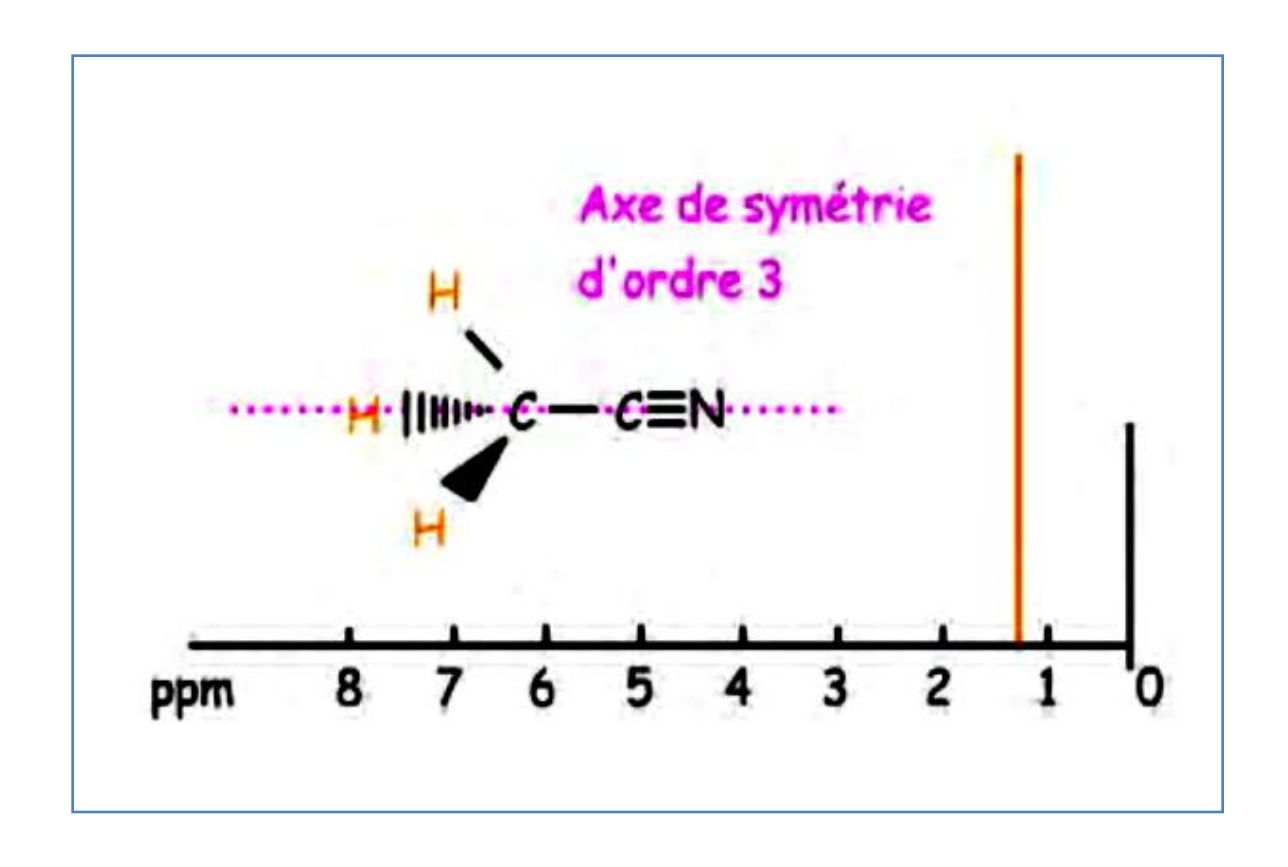
- même environnement électronique
- ⇒ même constante d'écran σ
- ⇒ même fréquence de résonance



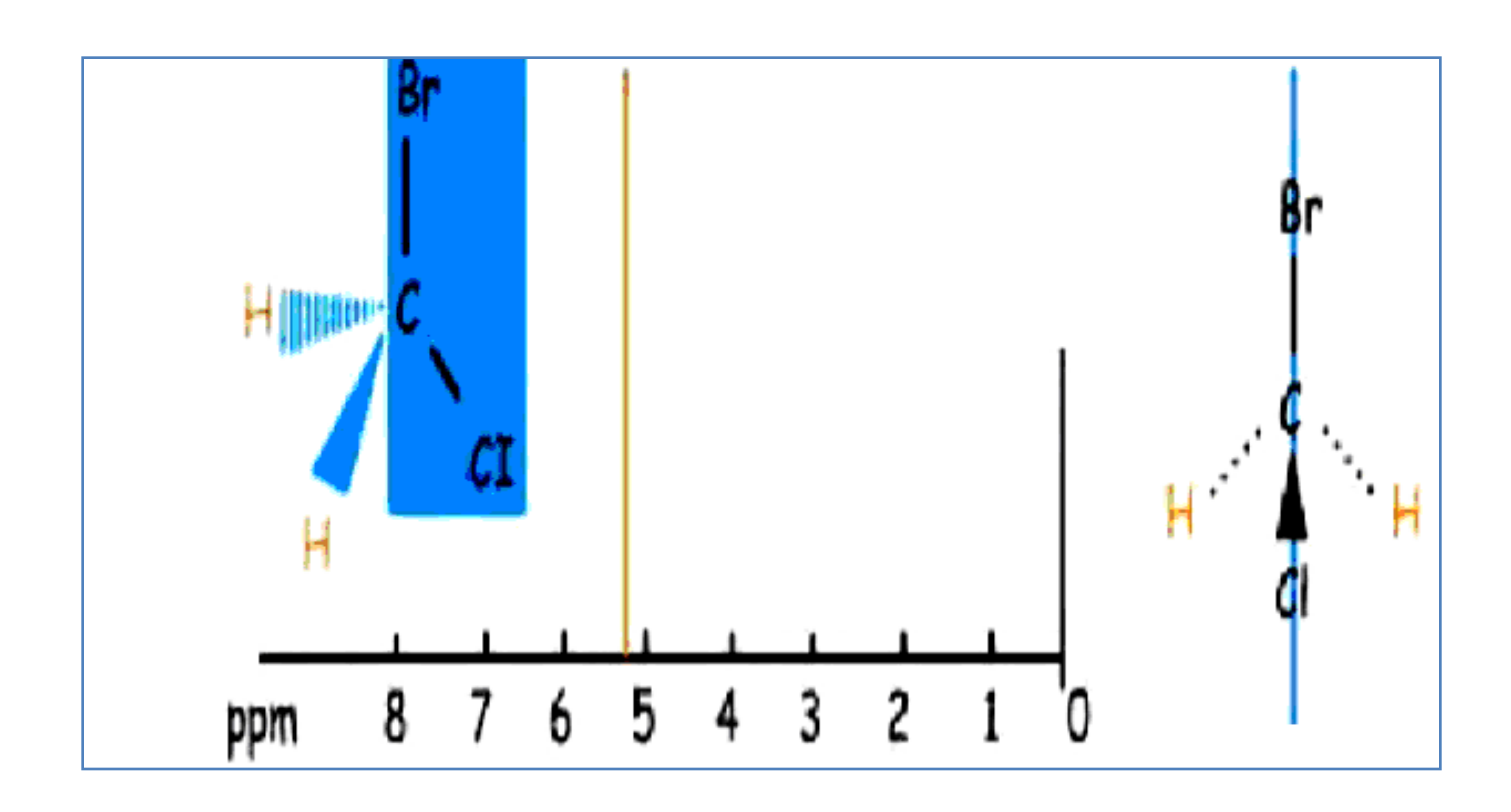
Il y a autant de fréquences de résonance que de types de noyaux isochrones.

### Exemples: Protons isochrones

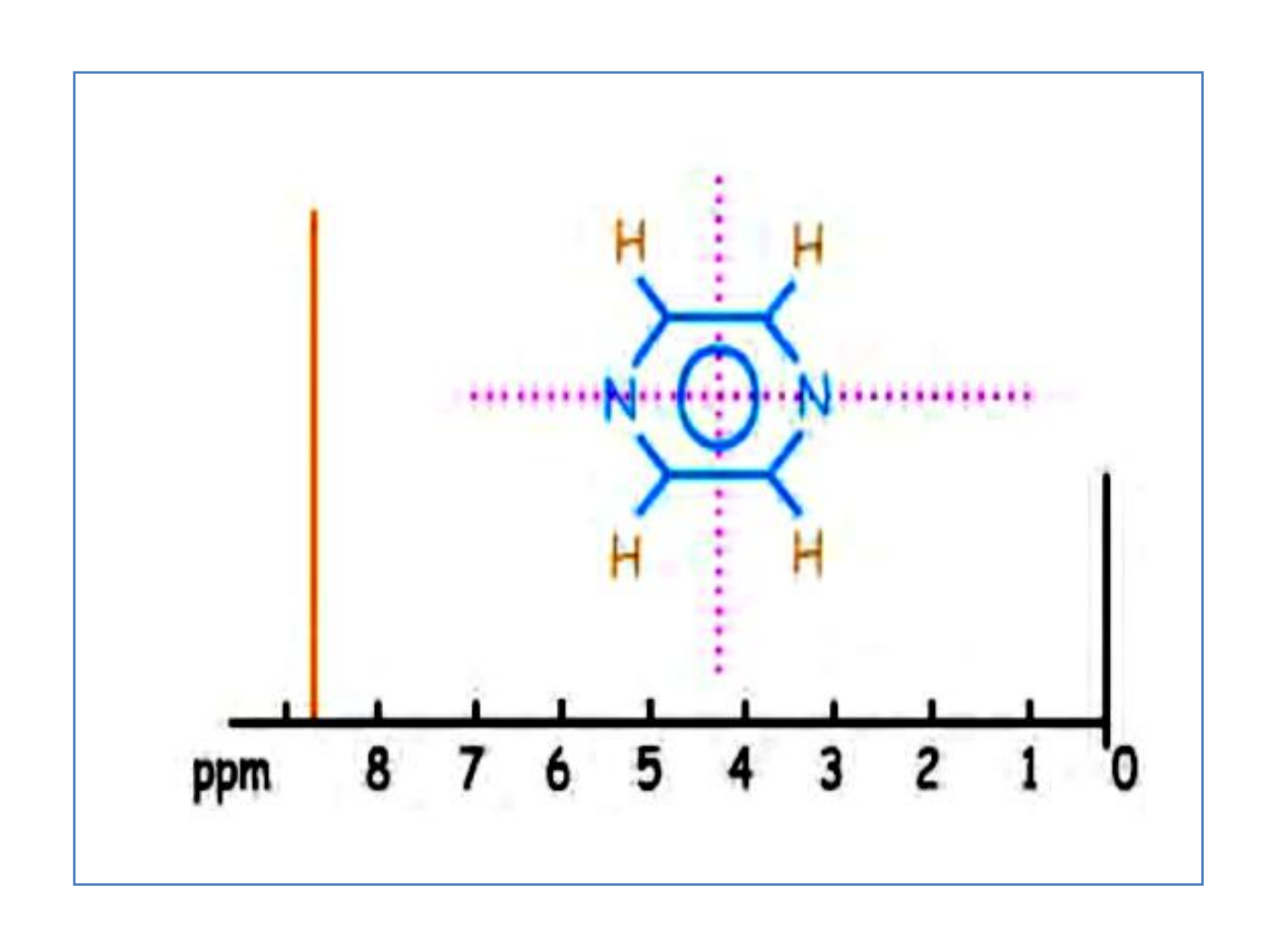
1- CH<sub>3</sub>CN



### 2- CH<sub>2</sub>BrCl



### $3 - C_4 N_2 H_4$

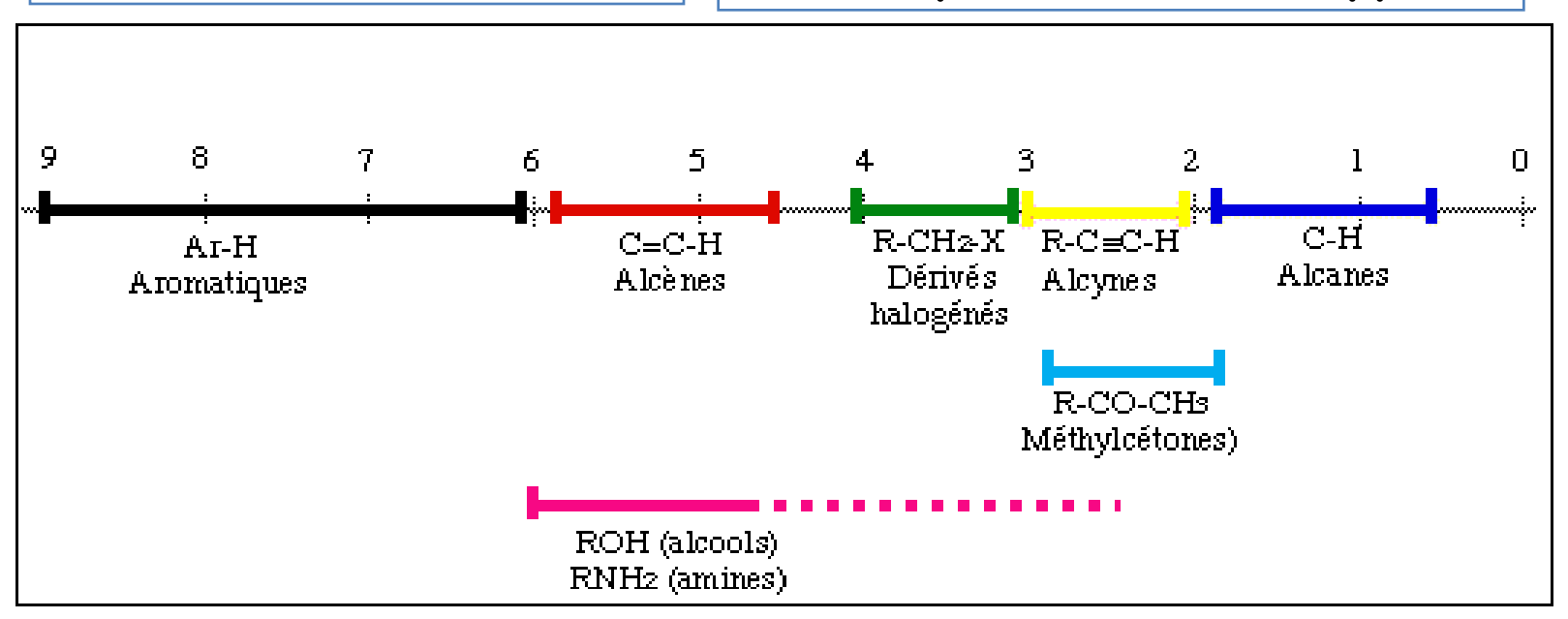


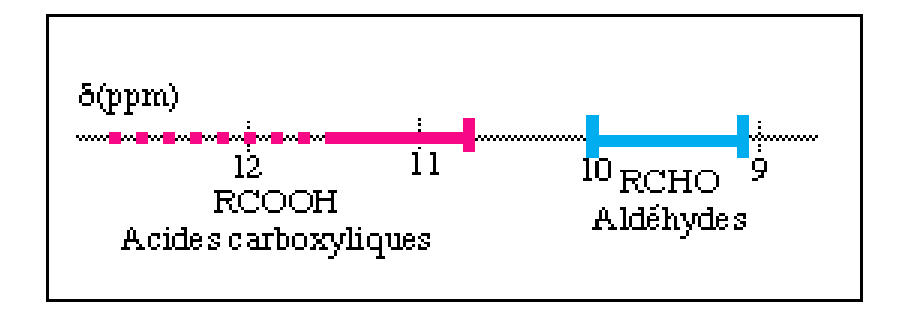
#### VI - TABLES DES DEPLACEMENTS CHIMIQUES

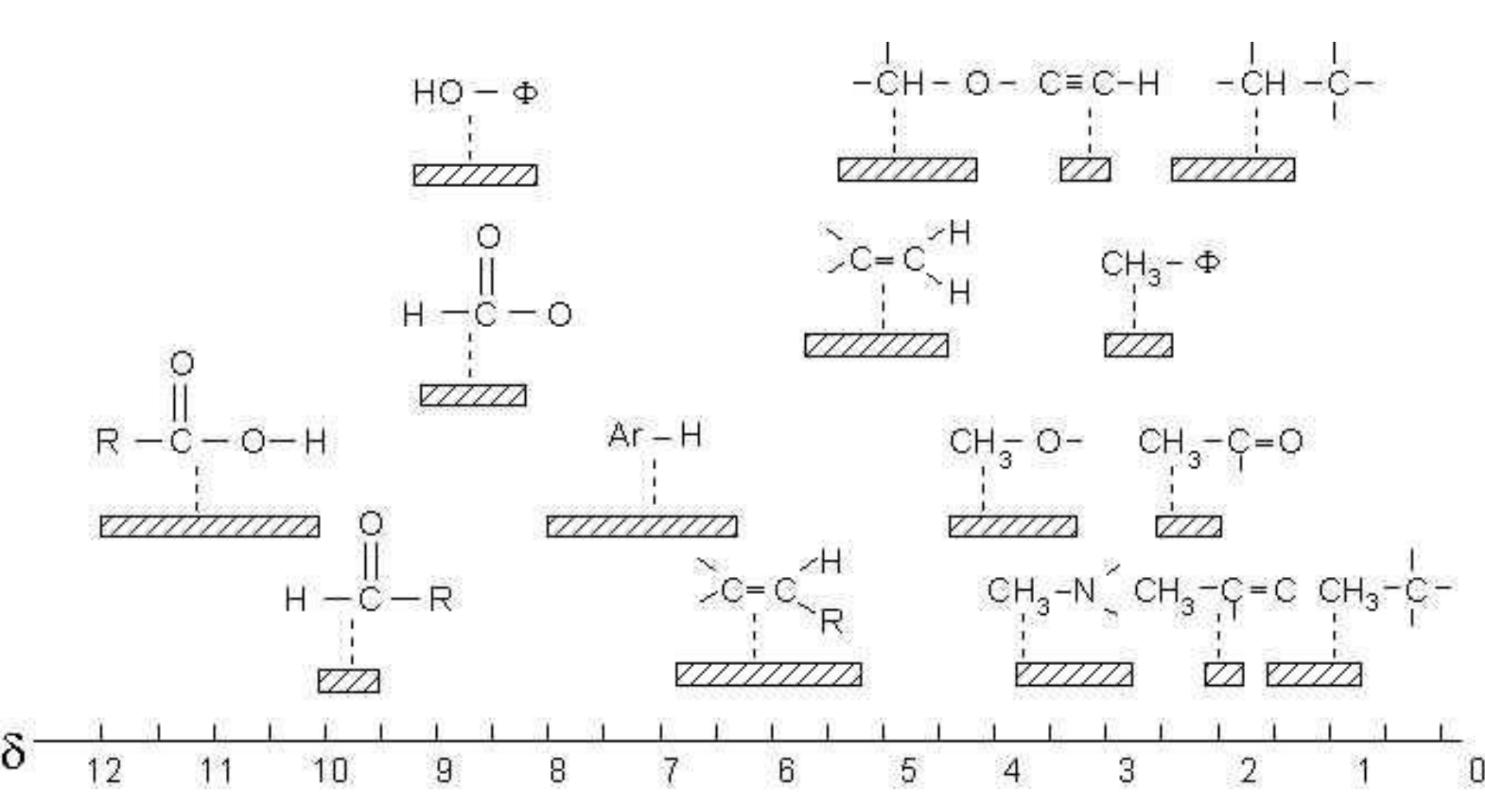
#### Tables empiriques en fonction des structures

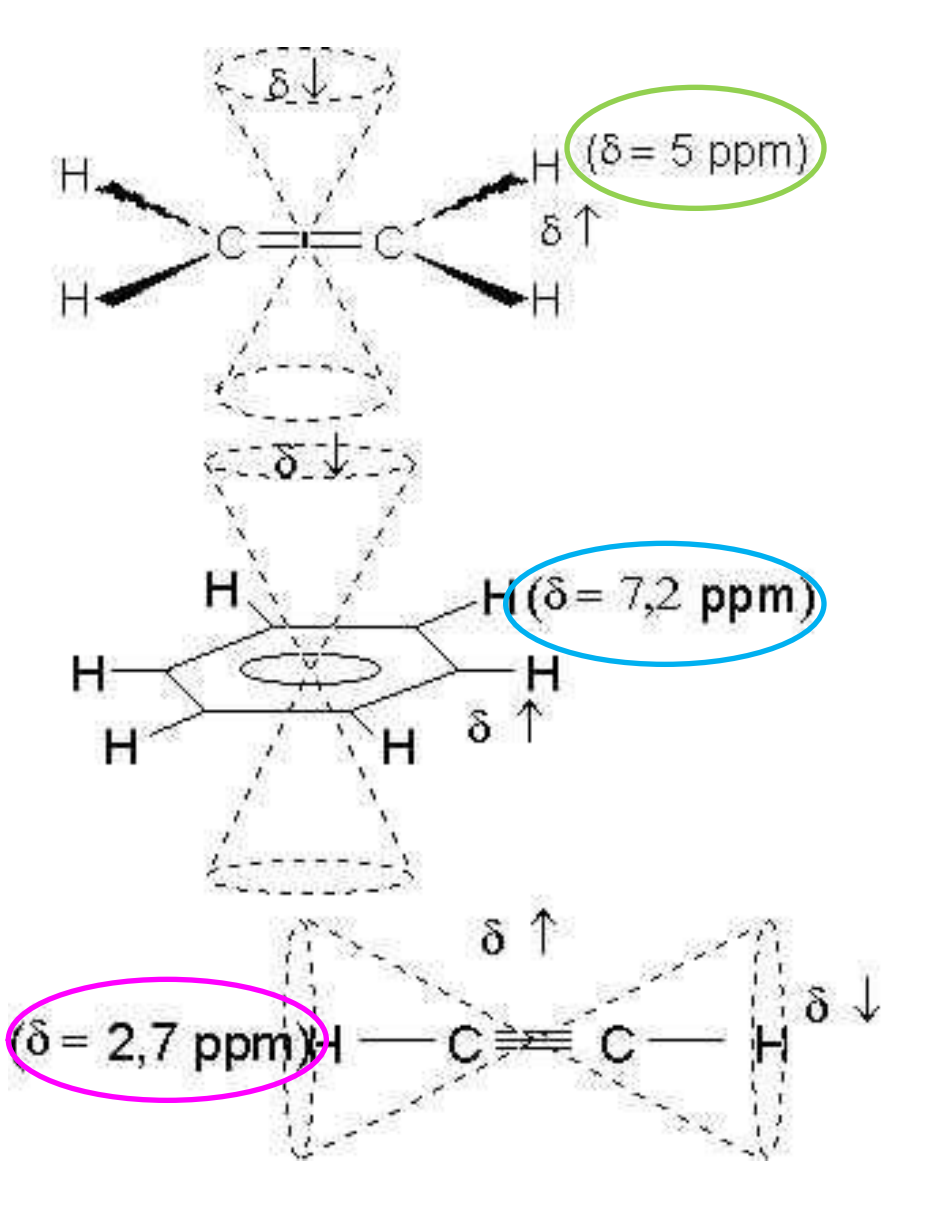
Référence: TMS ;  $\delta = 0$ 

Echelle pour  $\delta$ : 0 à 15 ppm









Il est intéressant de déterminer la cause des valeurs élevées des déplacements chimiques des protons aromatiques et éthyléniques, alors que celui du proton acétylénique est relativement faible.

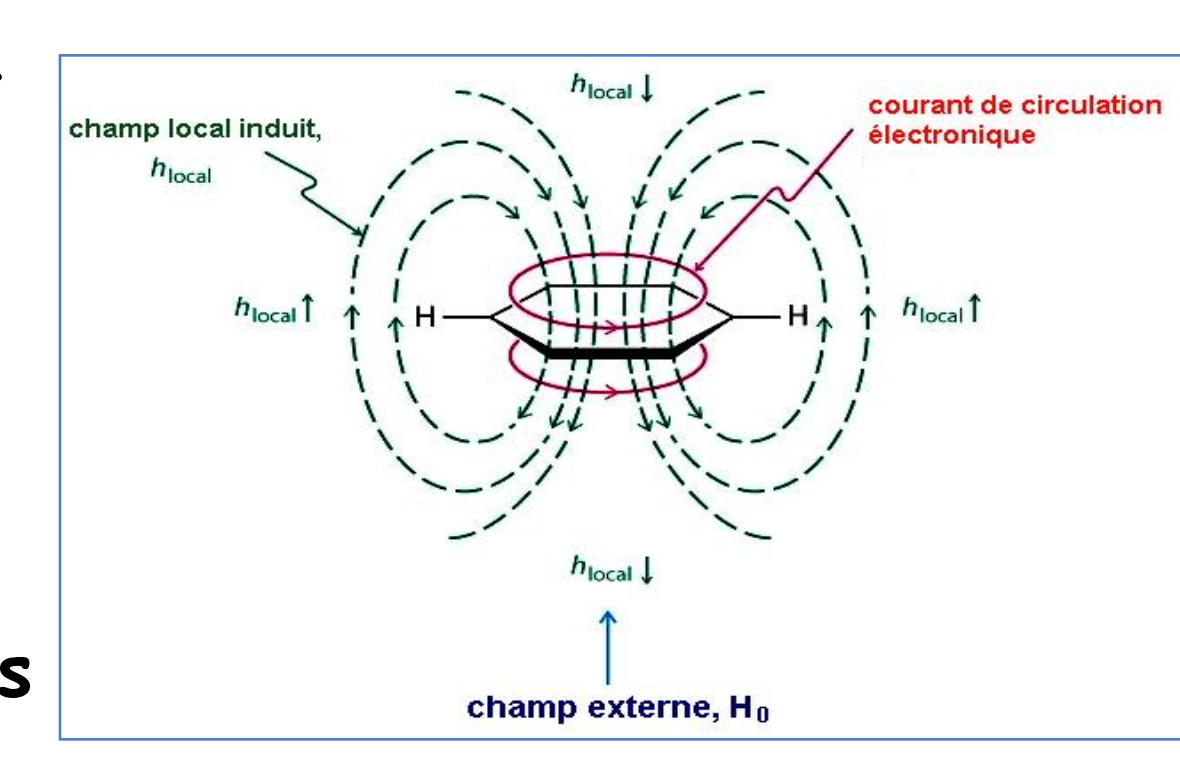
### Explication de ces différences

### par l'anisotropie des liaisons chimiques

Effet de la nonhomogénéité de la densité électronique

+

Effet de petits champs magnétiques induits par circulation des électrons

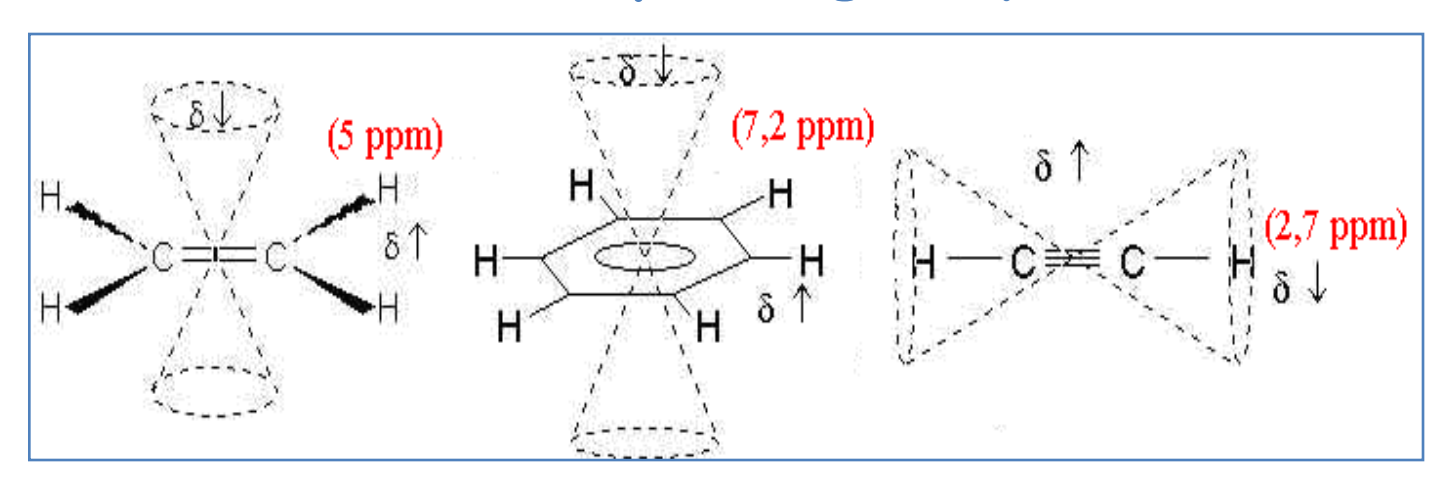


### Explication de ces différences

Placés dans un champ magnétique, les électrons p du noyau benzénique peuvent être considérés comme deux éléments de courant, s'opposant au champ magnétique appliqué.

Ils créent autour du noyau des zones d'anisotropie magnétique provoquant pour les protons situés dans ces zones un déplacement du signal correspondant, soit vers les champs faibles (déblindage), soit vers les champs forts (blindage)

## Circulation électronique ⇒ création autour du noyau de cônes d'anisotropie magnétique



 $\triangleright$   $\delta$  varie selon position du noyau étudié : orientation et distance par rapport aux cônes

> Plus le noyau est éloigné du cône d'anisotropie, plus

l'effet diminue.

$$\begin{array}{ccc}
H - C = 0 & H - CH_2 - C = 0 \\
\uparrow & R & \uparrow & R
\end{array}$$
9,5 ppm 2,1 ppm

#### Constante d'écran

Indépendamment des influences du milieu, la constante d'écran, et par conséquent le déplacement chimique  $\delta$  d'un noyau, est déterminé essentiellement par trois facteurs: > la répartition de la couche électronique du proton: elle sera sous l'influence des effets inductifs ( $\sigma$  dia) et mésomères ( $\sigma$  para) des noyaux voisins: contribution locale; Les effets d'anisotropie (σ anis): dus aux liaisons chimiques magnétiquement anisoptropes;, ie, doubles et triples: contribution non locale;

Les effets stériques et autres (liaison H, champs électriques locaux, etc) (σ autres); contribution non locale

Ainsi, la constante d'écran peut être réécrite en la somme de ces contributions:

$$\sigma = \sigma_{dia} + \sigma_{para} + \sigma_{anis} + \sigma_{autres}$$

VII- Intégration des signaux.

Dans un spectre RMN l'énergie absorbée par une espèce donnée de protons est proportionnelle au nombre de protons mis en jeu.

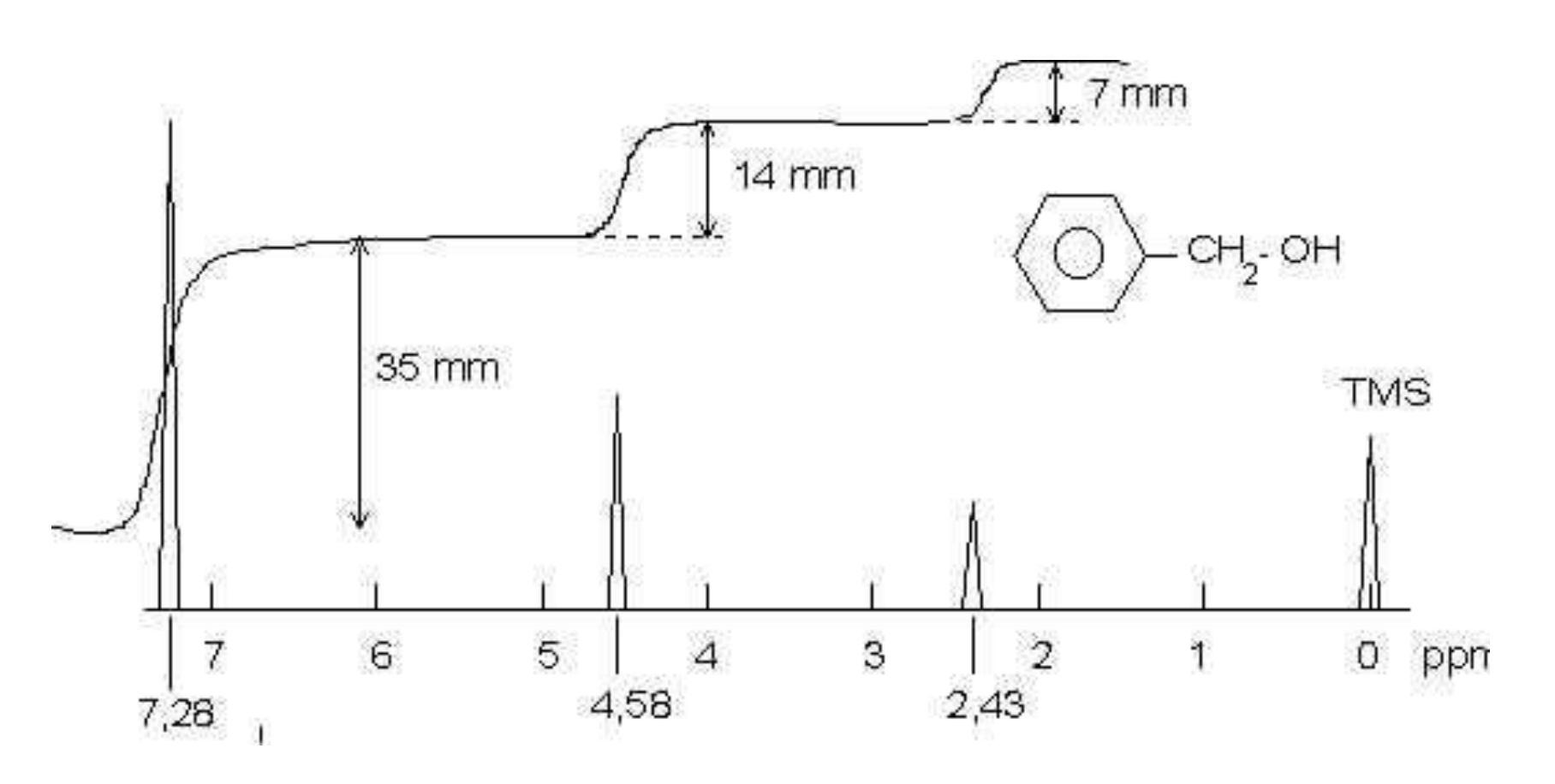
C'est-à-dire que l'intensité du signal, qui est mesurée par sa surface, est proportionnelle au nombre de protons intéressés.

Surface d'un signal proportionnelle au nombre de H correspondants

### VII- Intégration des signaux.

- Dispositif appelé intégrateur lié à l'enregistreur
- ⇒ mesure de l'aire des signaux
- ⇒ série de paliers dont les hauteurs reflètent les ≠ valeurs des intégrations
- Avec les spectrographes courants l'intégration des aires
- des signaux peut être obtenue directement et se
- présente sous la forme d'une série de paliers (voir
- figure). La hauteur de chaque palier est proportionnelle à
- l'aire intégrée du signal correspondant.

### Exemple1: l'alcool benzylique



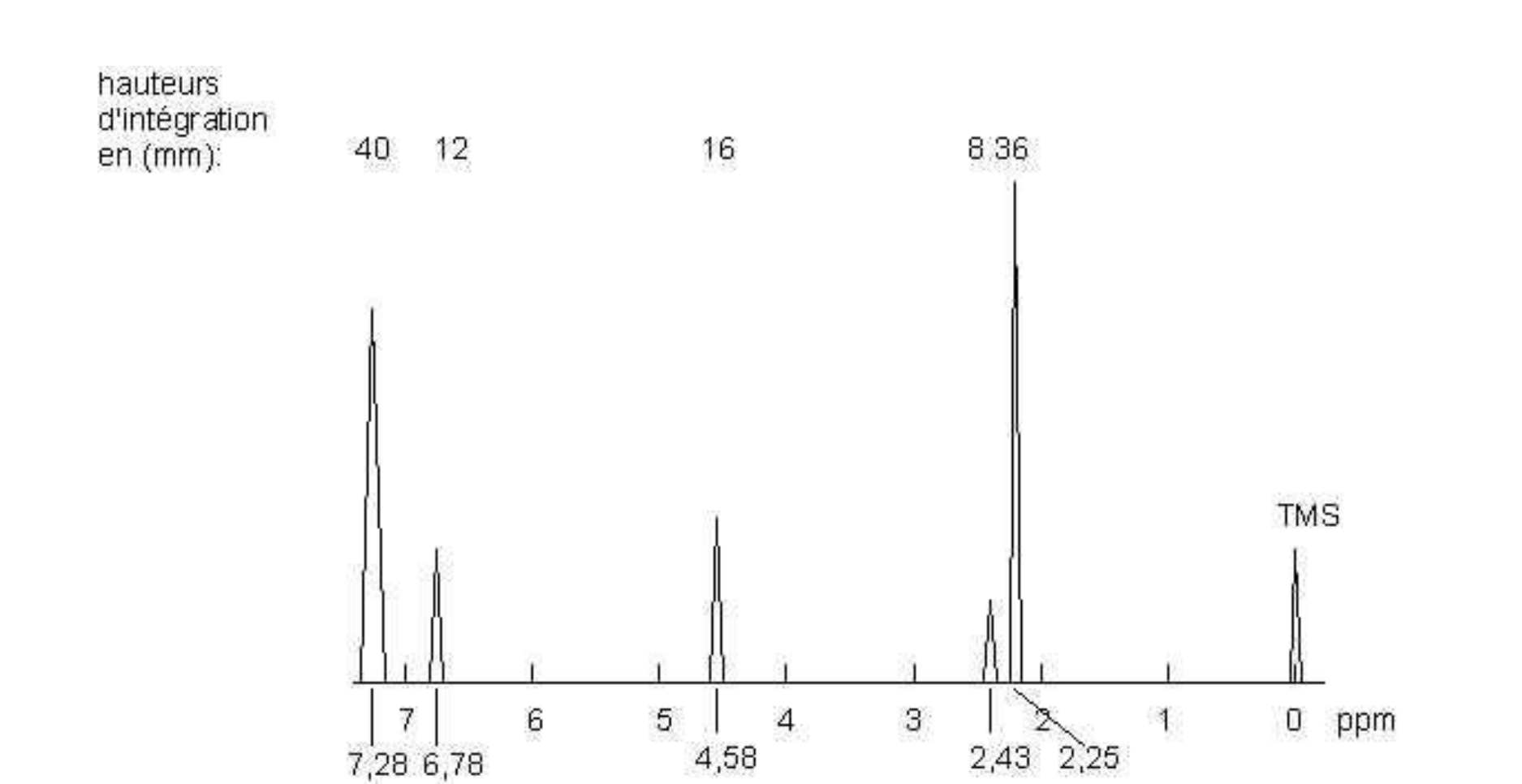
La hauteur du palier correspondant aux protons aromatiques est de 35 mm. Celle du palier correspondant au groupe -CH<sub>2</sub>- est de 14 mm, soit bien les 2/5 de 35 mm. Même raisonnement pour le proton de la fonction alcool.

Il est très important de noter que l'intégration ne fournit pas le nombre de protons en valeur absolue. On pourrait tout aussi bien avoir un nombre de protons égal à 10, 4 et 2 pour le spectre ci-dessus.

### Application à des mélanges

Le spectre suivant correspond à un mélange d'alcool benzylique et de

1,3,5-triméthylbenzène (mésitylène :  $\delta_{Ar-H}$  = 6,78 ;  $\delta_{méthyl}$  =2,25). La courbe d'intégration permet de doser les constituants du mélange :

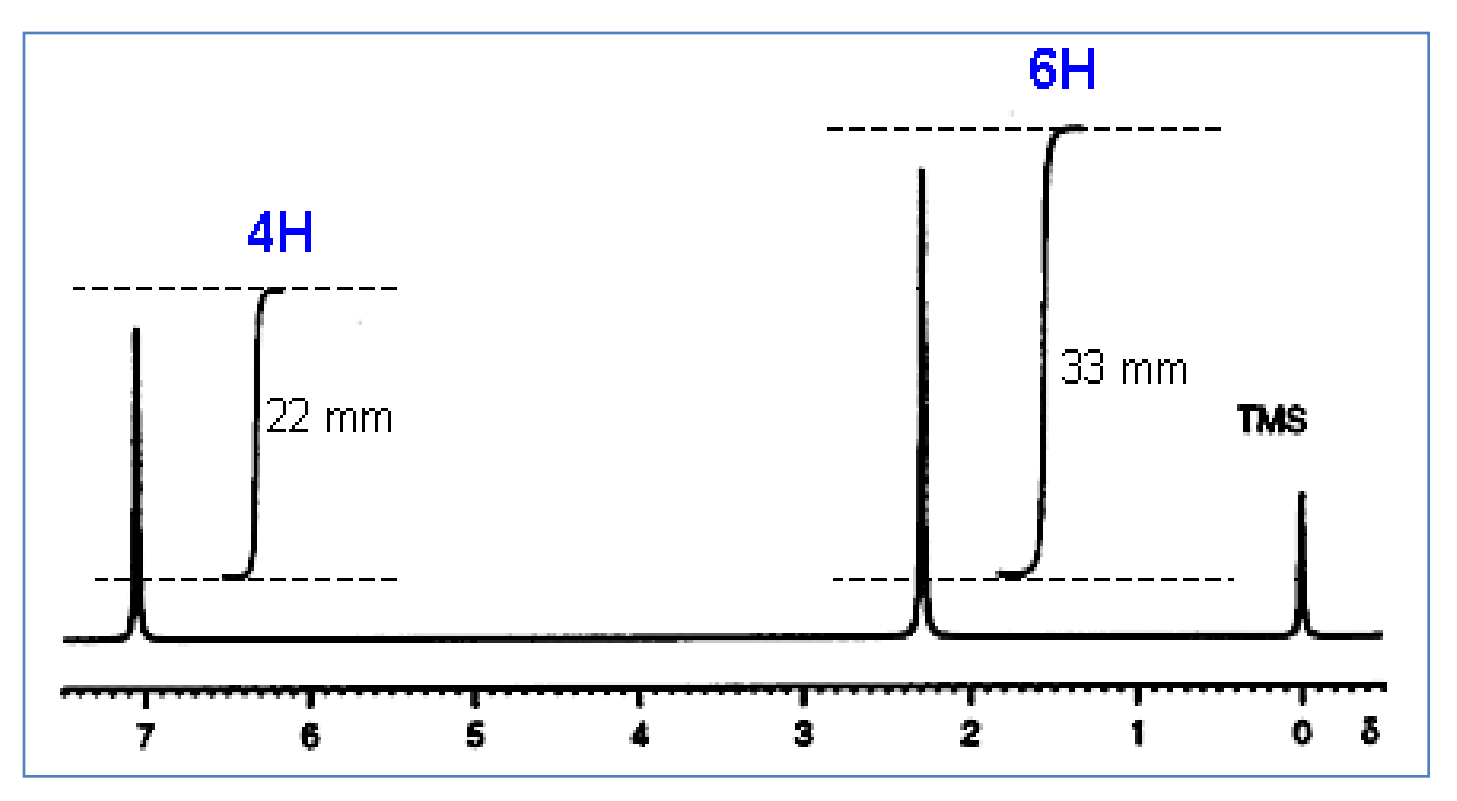


- On remarque que 1 proton de l'alcool benzylique intègre pour 8 mm (d = 2,43 ppm), et que 3 protons du mésitylène intègrent pour 12 mm (d = 6,78 ppm).
- On ramène tout à 1 (de manière à rapporter à 1 molécule de chaque produit :
- 1 molécule d'alcool benzylique ¾ → 8 mm et
- 1 molécule de mésitylène  $\frac{3}{4} \implies 4 \text{ mm}$

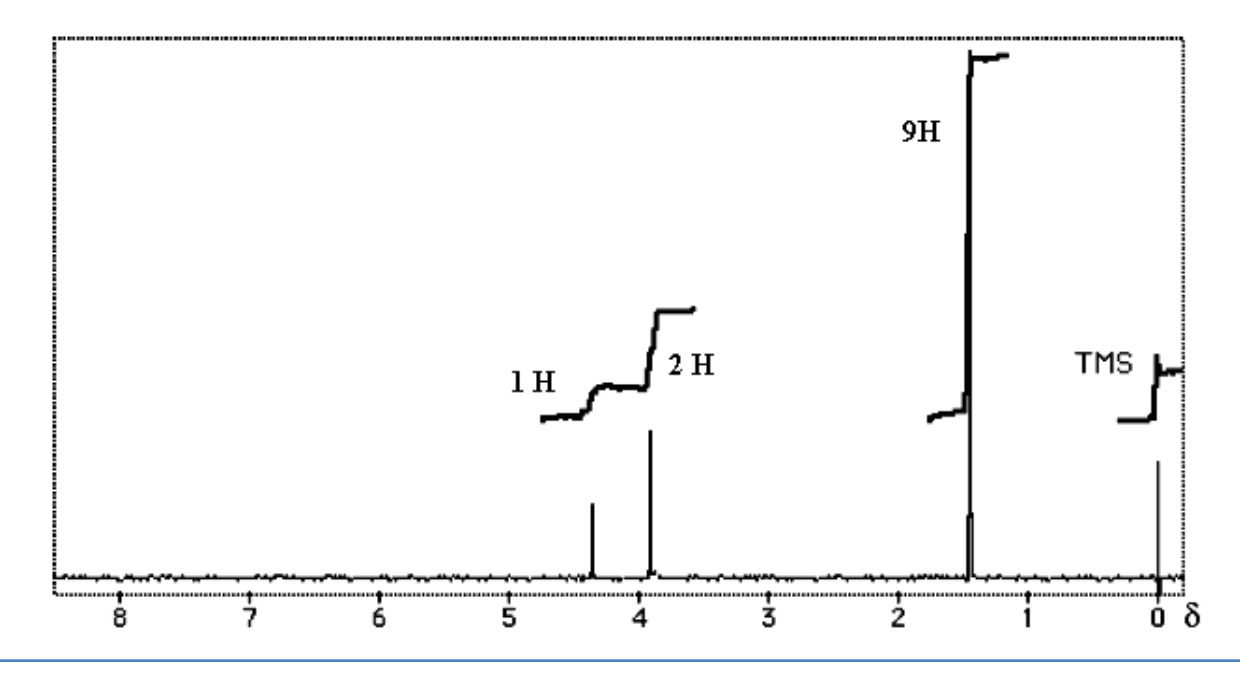
Il y a donc deux fois plus d'alcool benzylique que de mésitylène dans le mélange : 67% et 33%.

Exemple 2 : p-xylène





### Exemple 3: $(CH_3)_3C-CH_2-OH$



## 3 signaux de surface relatives intégrant 9, 2, 1 H

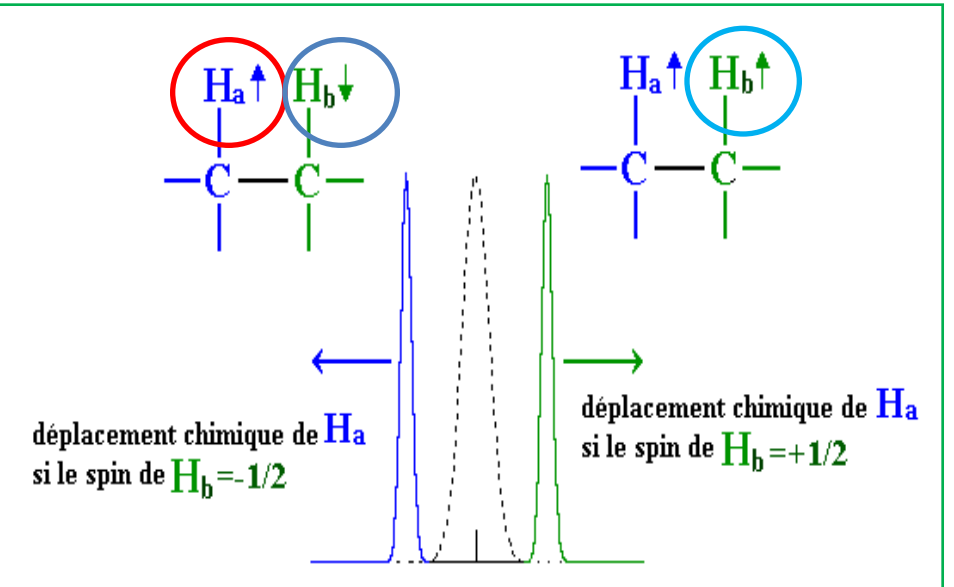
- $> \delta$  = 1,4 ppm ; 9 H ; groupe tertiobutyle
- $> \delta$  = 3,9 ppm; deux protons du groupe CH<sub>2</sub>
- $> \delta$  = 4,3 ppm; proton du groupement O-H

VIII - STRUCTURE FINE - COUPLAGE SPIN-SPIN VIII.1 - Principe

- > Champ local d'un noyau dépend de son environnement électronique (donc de la constante d'écran  $\sigma$ ).
- > Il est influencé par

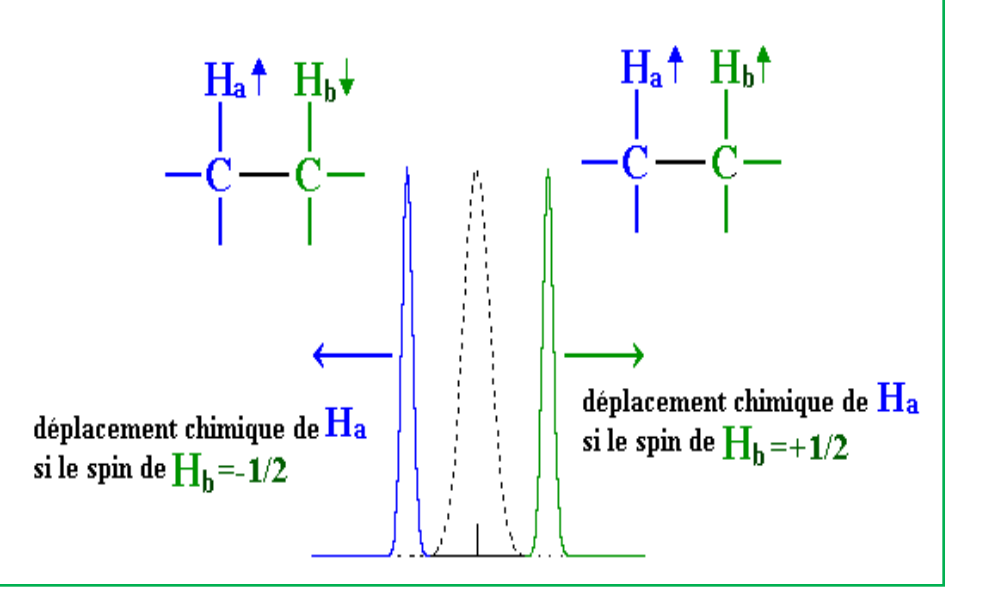
  - présence des spins d'autres orientation noyaux de la molécule

lorsque ces spins ≠ zéro

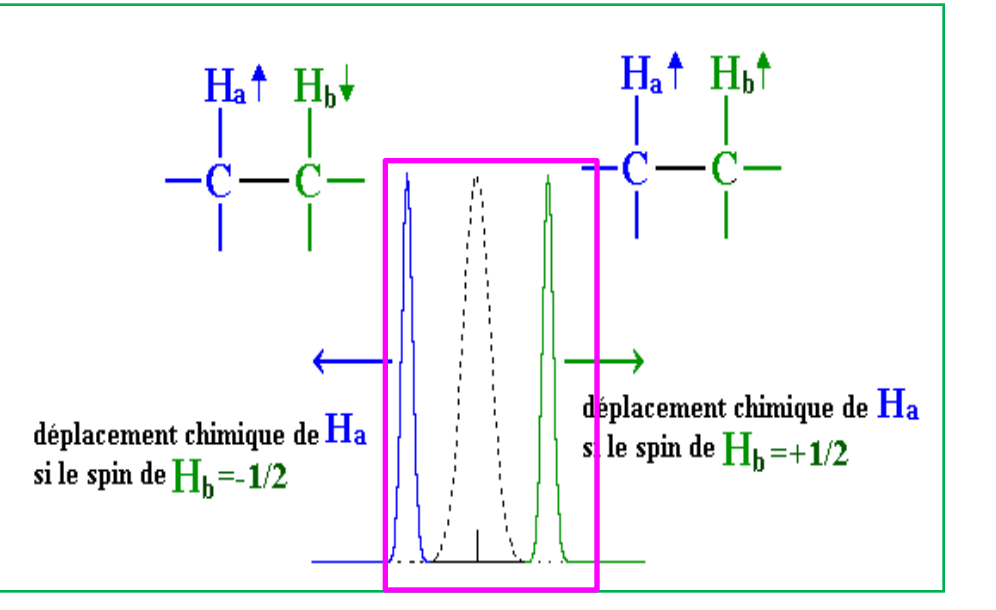


Soit H<sub>a</sub> le proton résonant Soit H<sub>b</sub> le proton voisin de H<sub>a</sub>

Champ local au voisinage de  $H_a$  est influencé par les 2 orientations possibles du spin de  $H_b$   $(+\frac{1}{2}$  et  $-\frac{1}{2}$ )

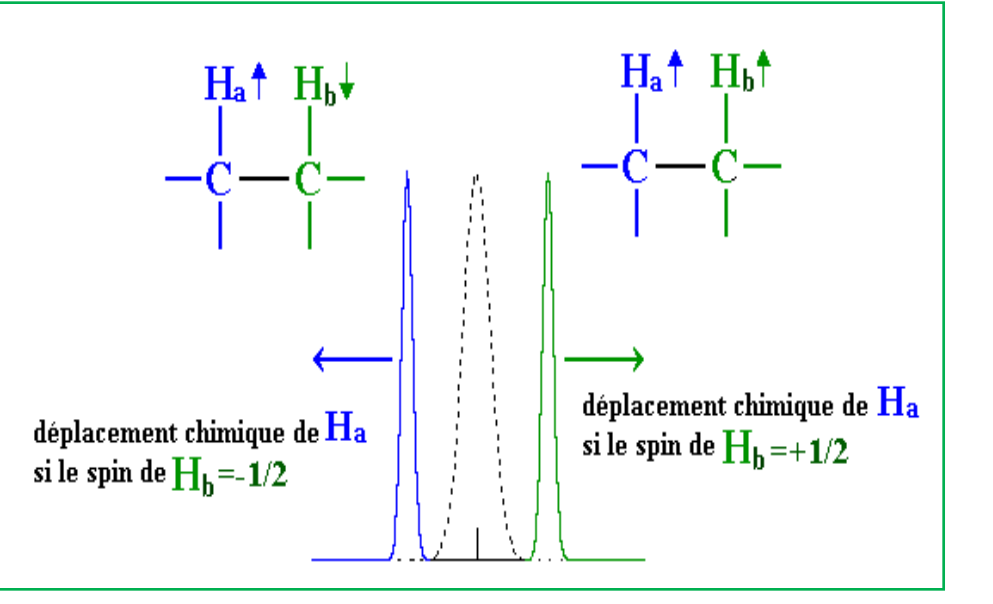


- > Spin = +1/2 : champ local blindé
  - Spin = -1/2 : champ local déblindé
  - ⇒ Effet de deux champs magnétiques sur Ha

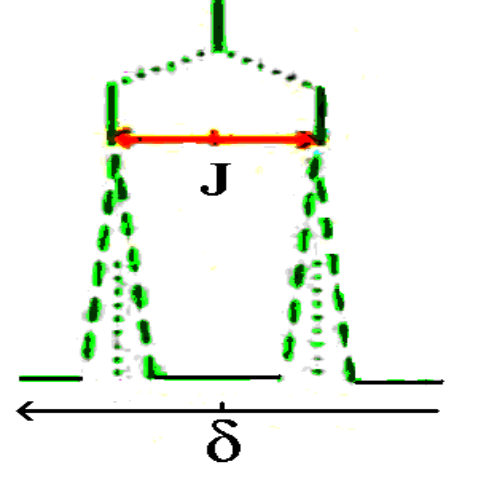


> D'où, signal RMN sous la forme d'un doublet

probabilité pour  $H_b$  d'avoir le spin  $+\frac{1}{2}$  ou  $-\frac{1}{2}$  est à peu près la même  $\Rightarrow$  composantes d'égales intensités



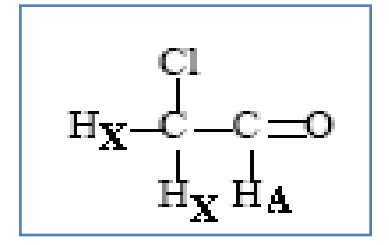
- > Interaction entre noyaux appelée couplage spin-spin.
- > Elle se transmet par les électrons de liaison.
- L'importance du couplage est estimée par une constante J



Les couplages ne peuvent apparaître qu'entre protons non équivalents

- \* J : constante de couplage, exprimée en Hertz
- \* Indépendante du champ magnétique externe
- \* Renseigne sur le voisinage des noyaux

### Pour les 2 protons X

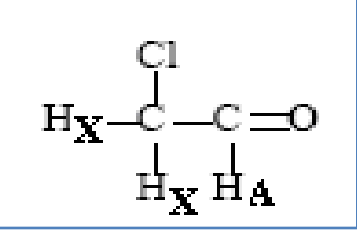


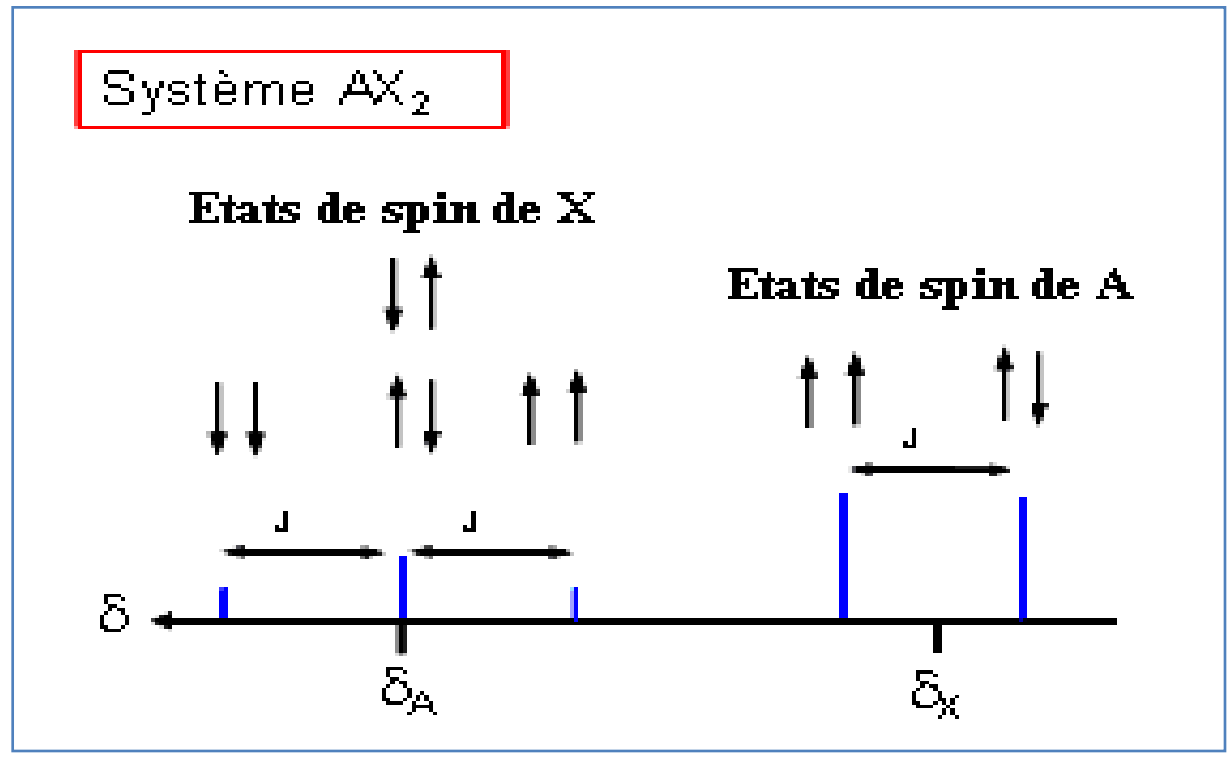
2 protons X perturbés par les 2 orientations possibles du spin de A

2 arrangements



⇒ Signal de X : doublet avec un rapport d'intensité 1/1

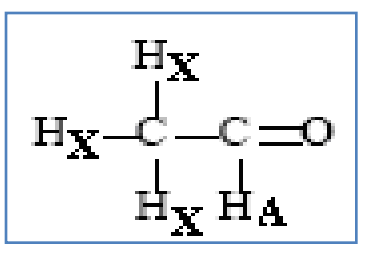


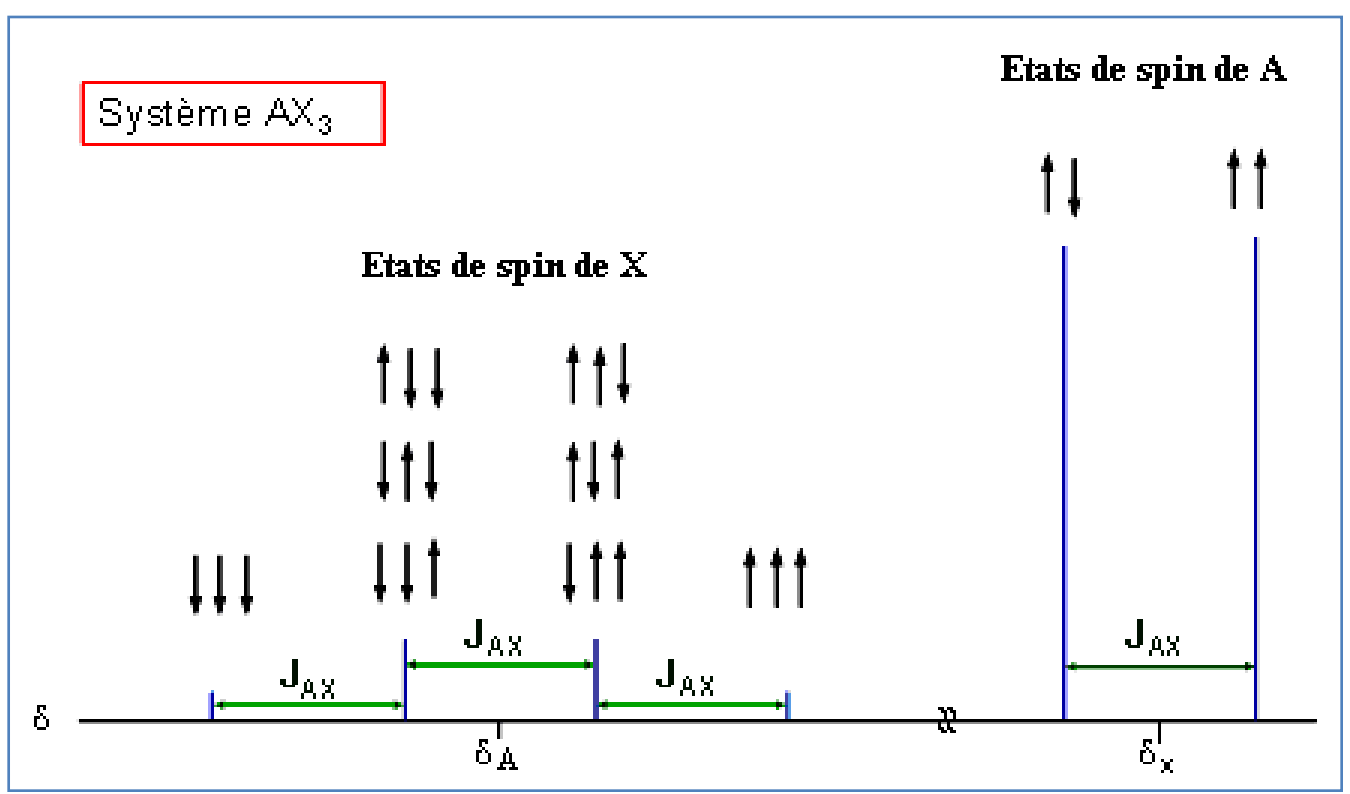


A: triplet 1/2/1 | X: doublet 1/1

# VIII.3.3 - Système AX<sub>3</sub>

# Exemple:

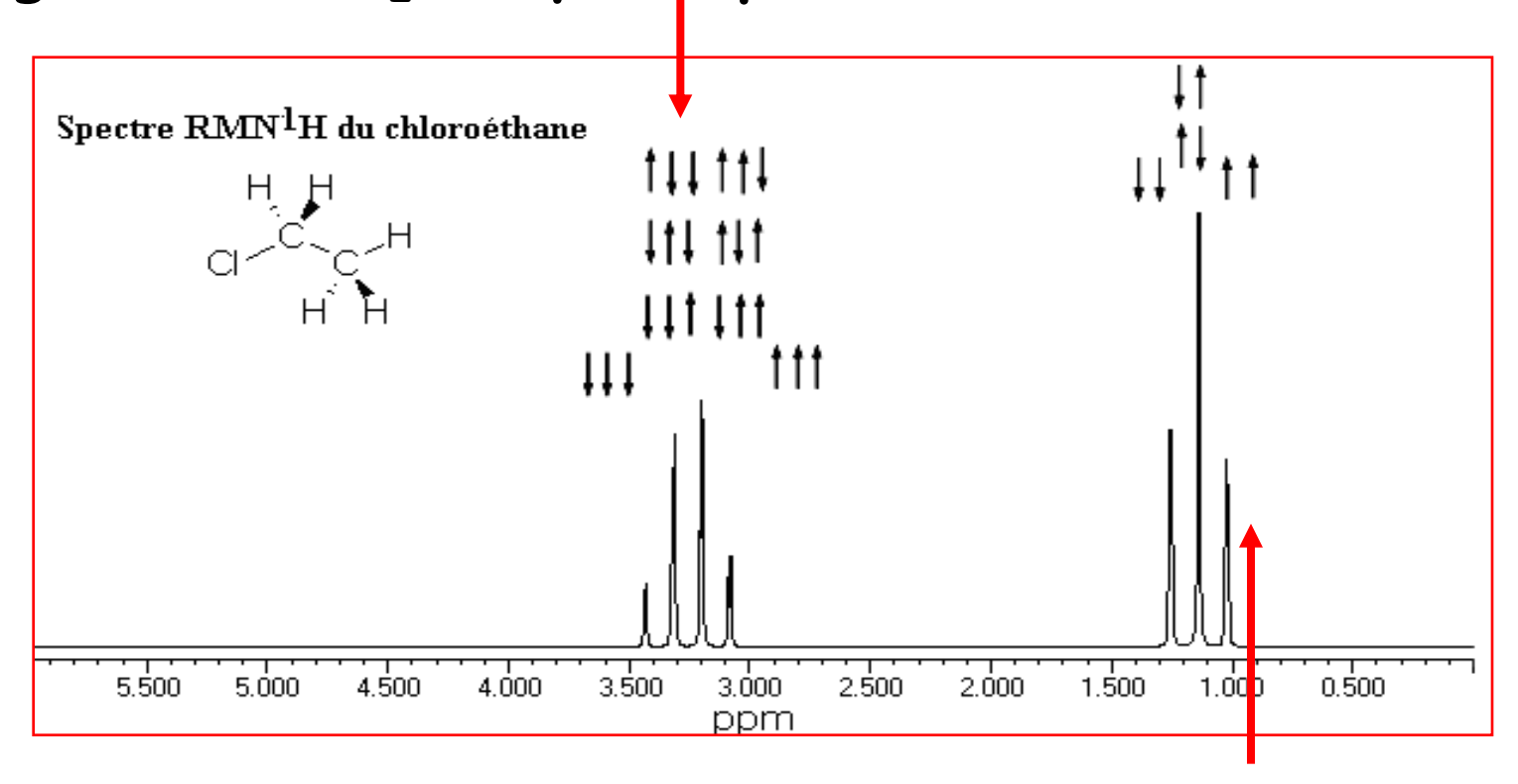




VIII.3.4 - Système A<sub>2</sub>X<sub>3</sub>

Exemple: CH<sub>3</sub>-CH<sub>2</sub>-Cl

signal du -CH<sub>2</sub>-: quadruplet d'intensités 1/3/3/1

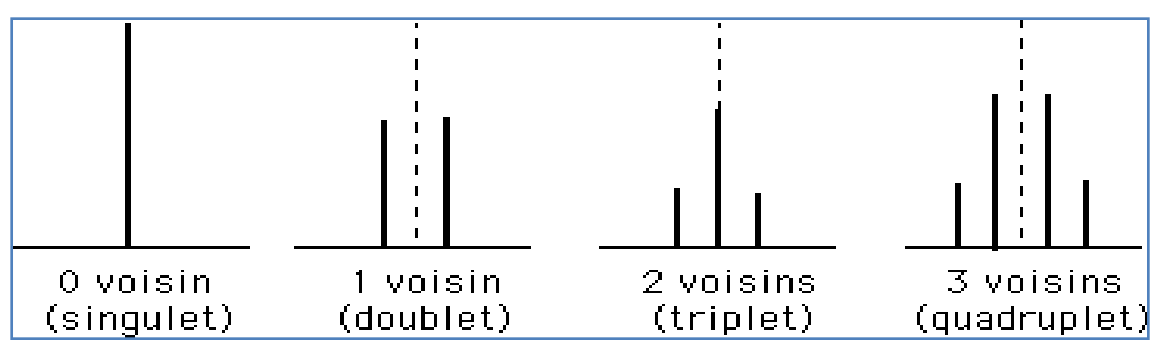


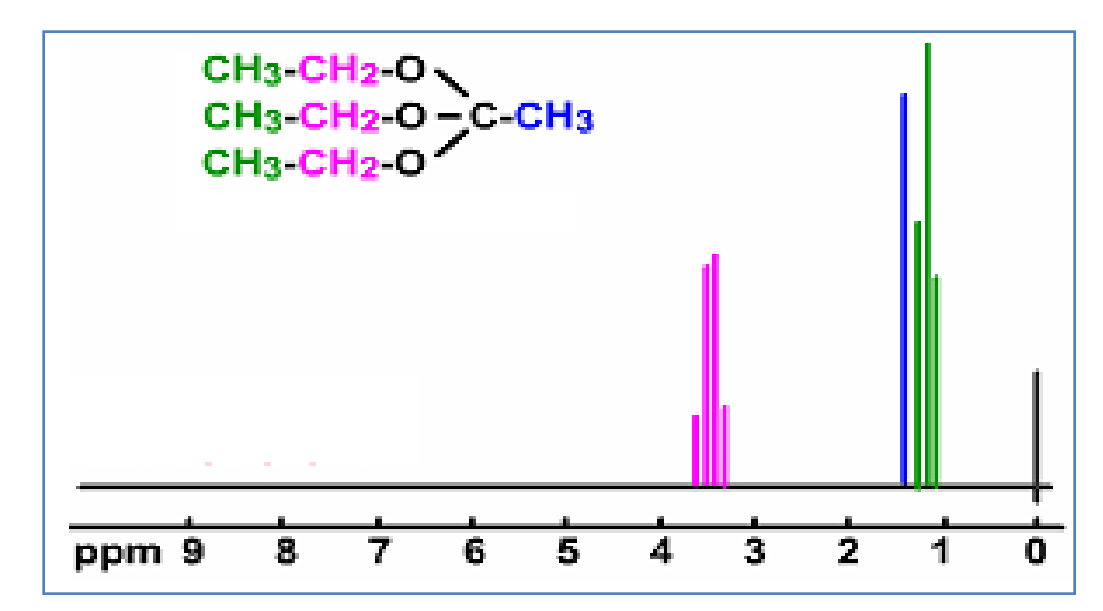
signal du -CH3: triplet d'intensités 1/2/1

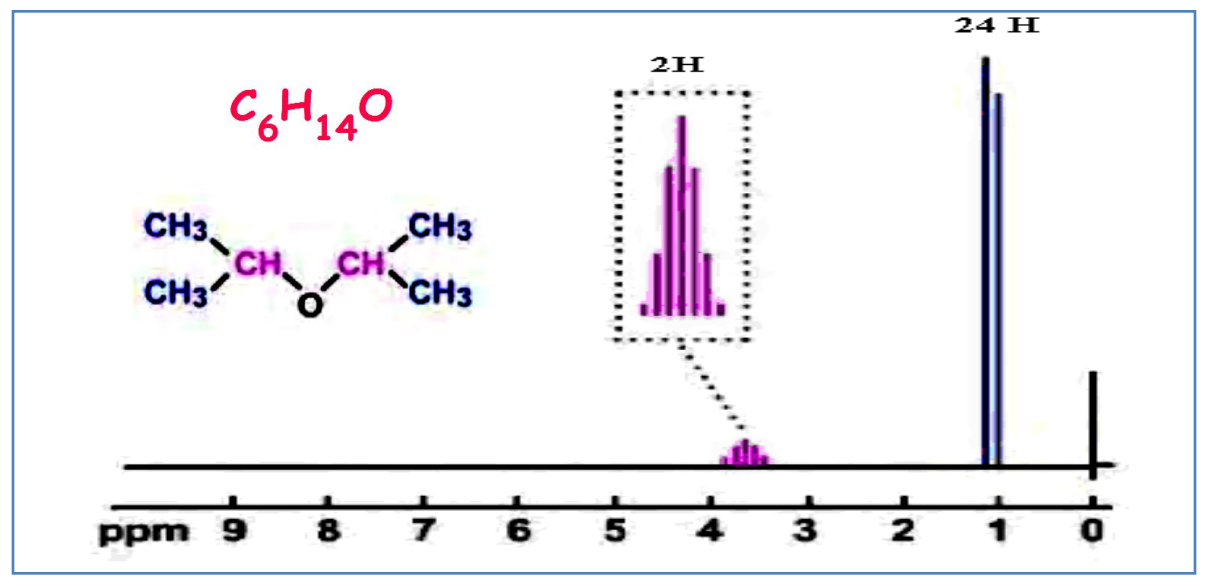
### VIII.3.5 - Généralisation pour un système de premier ordre

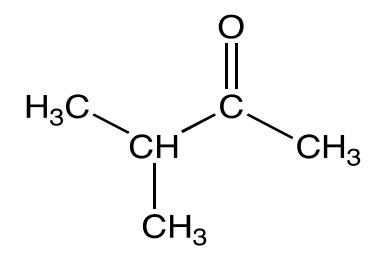
 $H_A$  couplé avec n protons équivalents X voisins  $\Rightarrow$  signal = multiplet de (n+1) raies avec intensités relatives selon triangle de Pascal

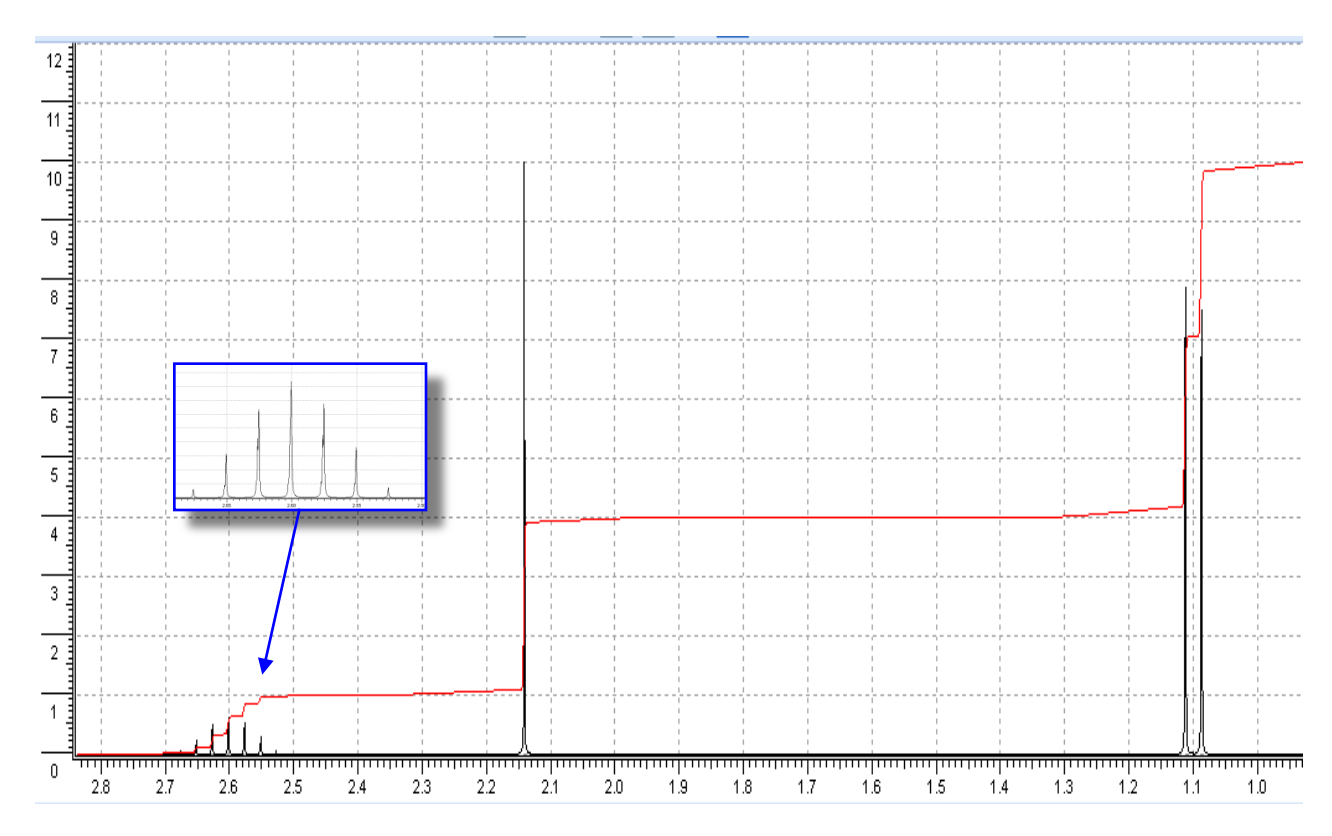
nombre de voisins n	nombre de pics et intensité relative	Nom du signal
0	1	singulet
1	1 - 1	doublet
2	1 - 2 - 1	triplet
3	1 - 3 - 3 - 1	quadruplet
4	1 - 4 - 6 - 4 - 1	quintuplet
5	1 - 5 - 10 - 10 - 5 - 1	hexuplet
6	1 - 6 - 15 - 20 - 15 - 6 - 1	heptuplet











Si pour un proton il y a couplage avec deux groupes voisins de  $n_1$  et  $n_2$  protons, la multiplicité est donnée par :  $(n_1+1)$   $(n_2+1)$ 

$$CH_2$$
: 2+1=3 triplet

 $CH_2$ : (2+1)(2+1)=9 signal à 9 composantes Mais souvent on n'observe pas les pics faibles. On dit : MULTIPLET

 $CH_2$ : 2+1=3 triplet

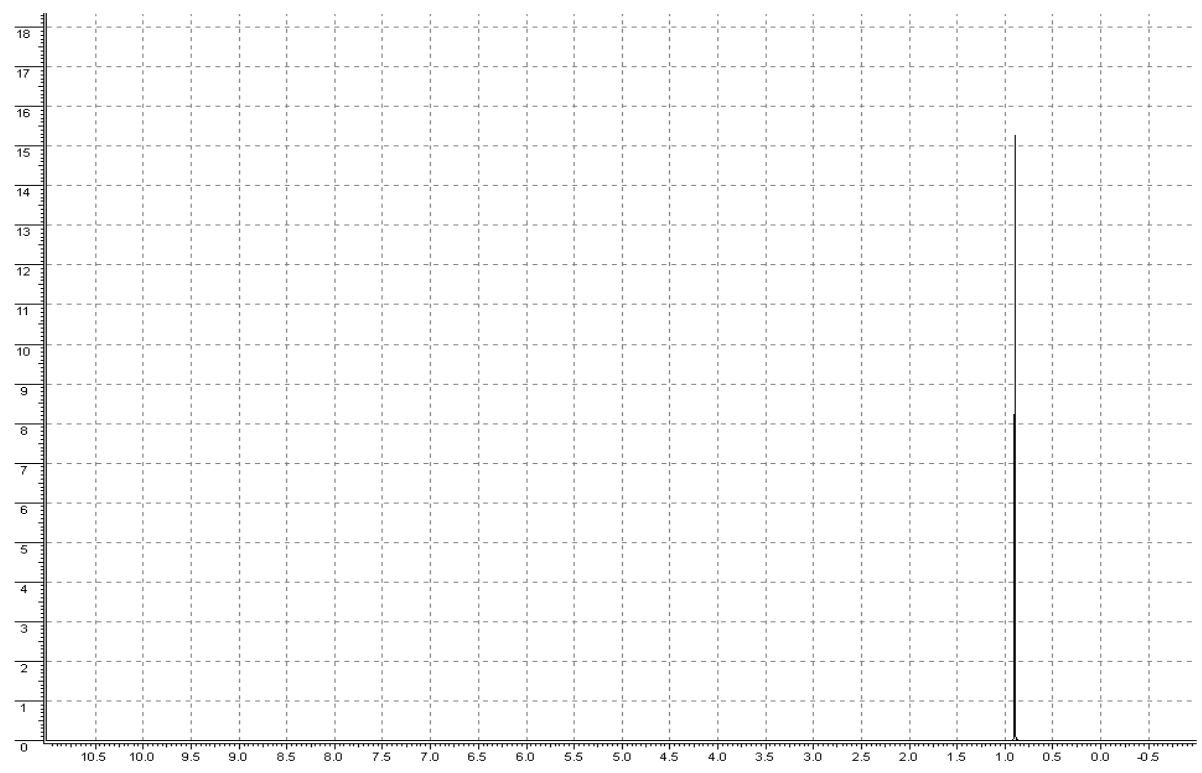
# fin de la partie RMN

Exo1: Prédire le spectre RMN <sup>1</sup>H du cyclohexane

H<sub>2</sub>C CH<sub>2</sub> CH<sub>2</sub> CH<sub>2</sub> CH<sub>2</sub> CH<sub>2</sub> CH<sub>2</sub>

Exo2 : Déduire la structure du composé de formule brute  $C_5H_{12}$  dont le spectre RMN  $^1H$ 

est le suivant



Exo 7: Attribuer à chacun des composés suivant son spectre respectif

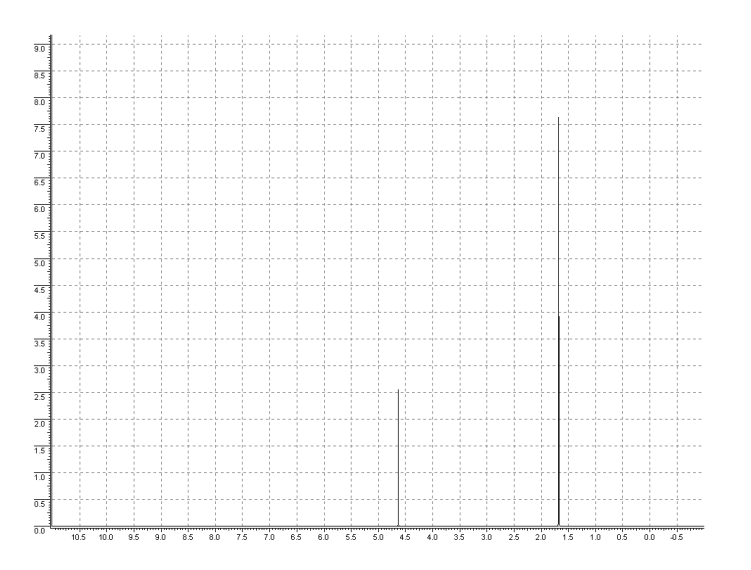
Composé A: 2,3-dimethyl-2-butène

Composé B: 2-methylpropène

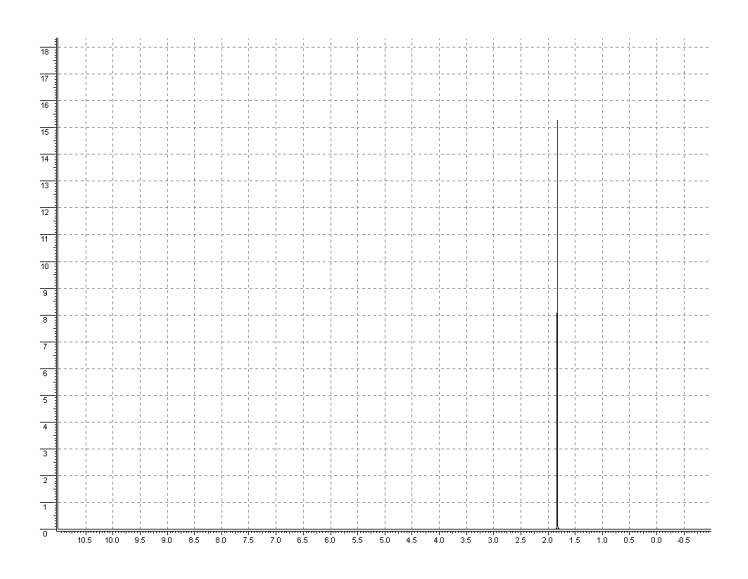
$$^{
m CH_3}_{
m C=C}$$
  $^{
m CH_3}$ 

$$_{
m CH_3}$$
  $_{
m C=CH_2}$ 

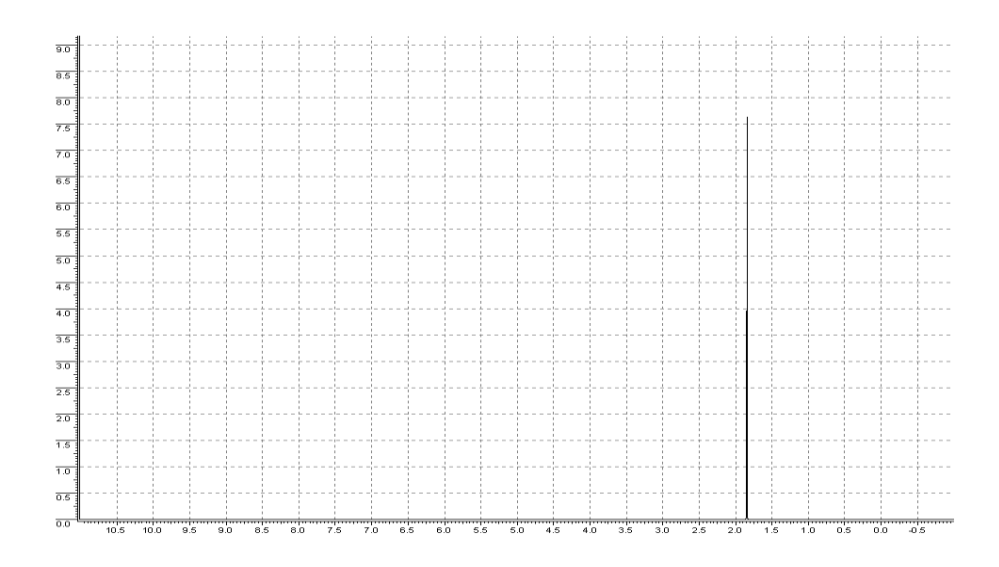
Spectre 1



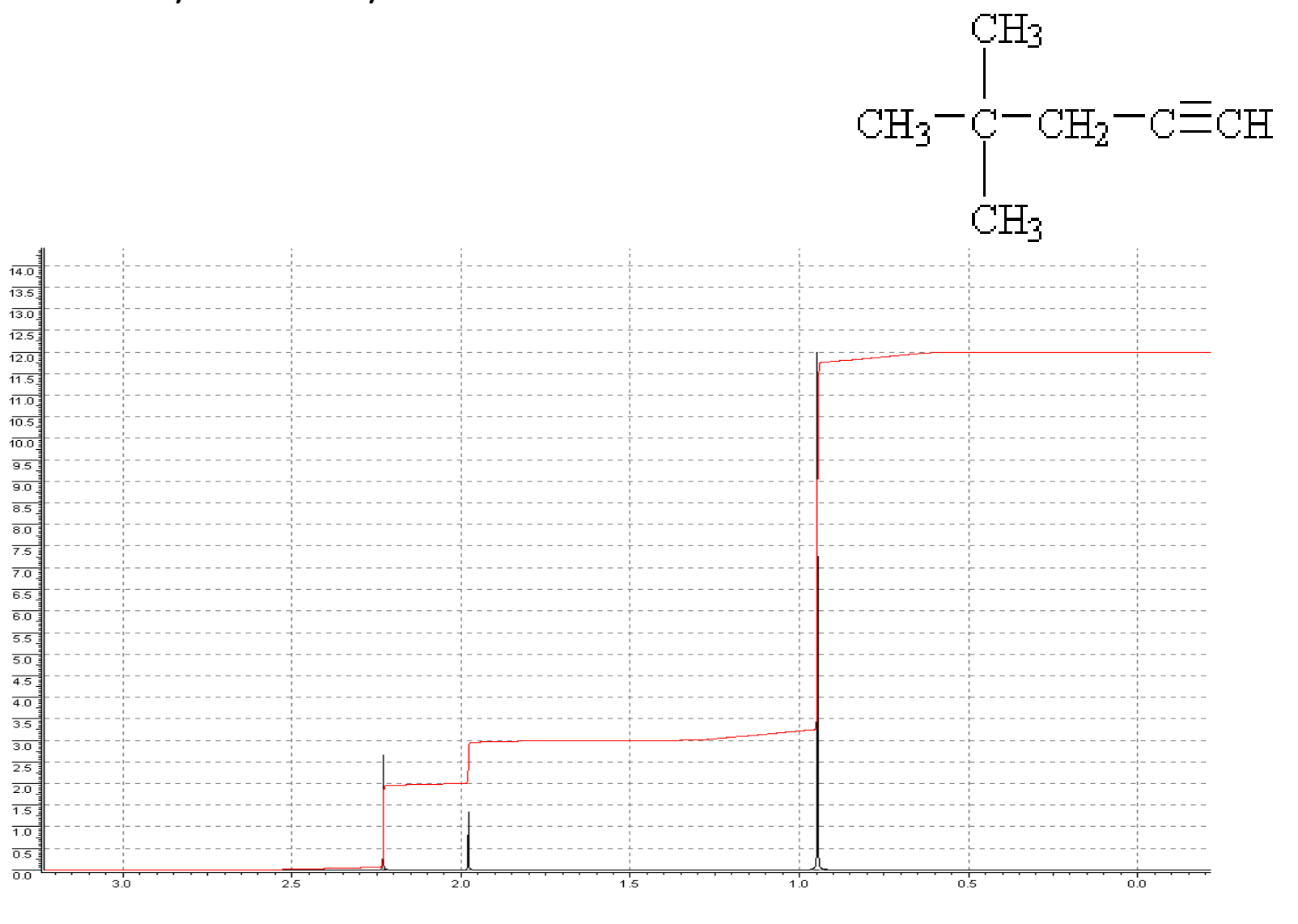
Spectre 2



Exo 8: Dites si le spectre suivant correspond  $\hat{a}$  celui du 2-butyne

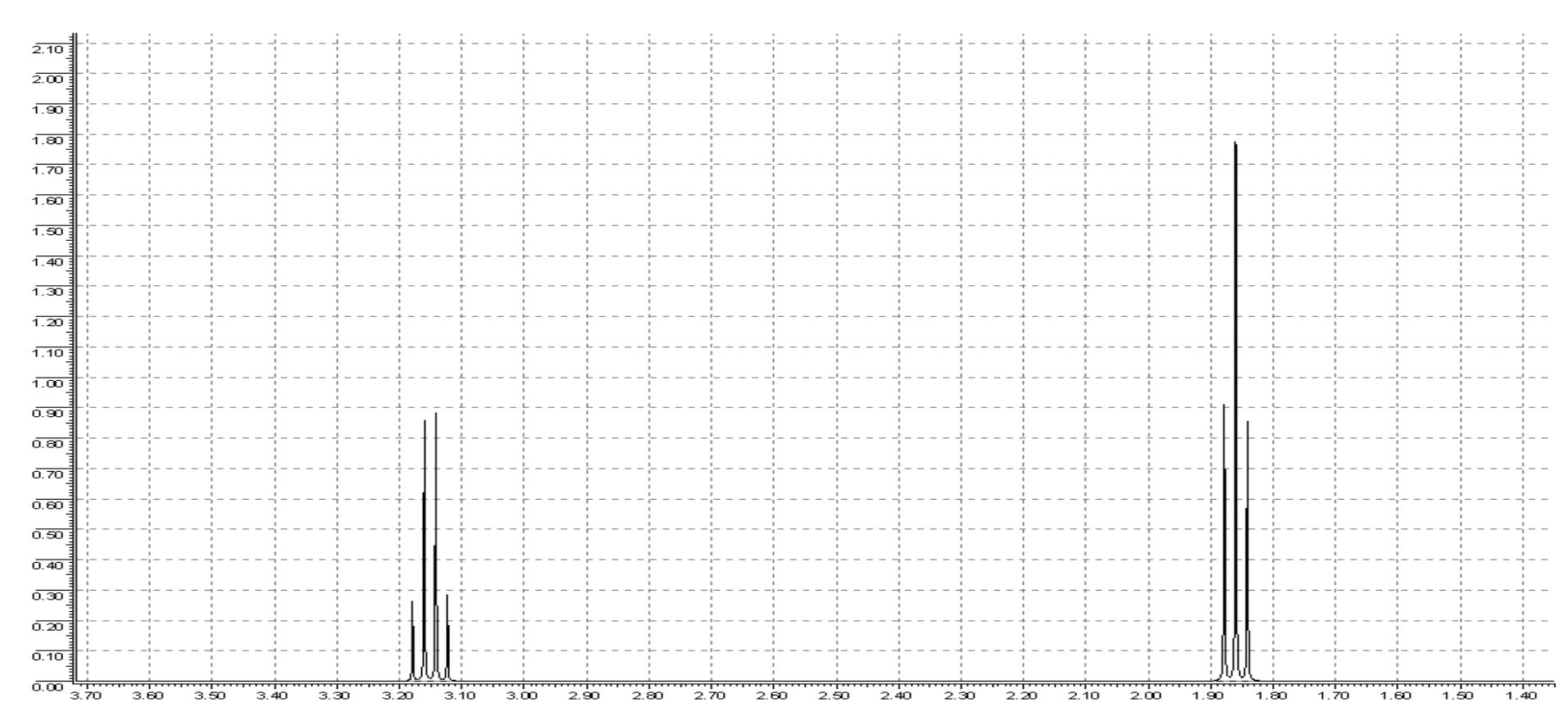


Exo 9 : Interpréter le spectre suivant sachant du



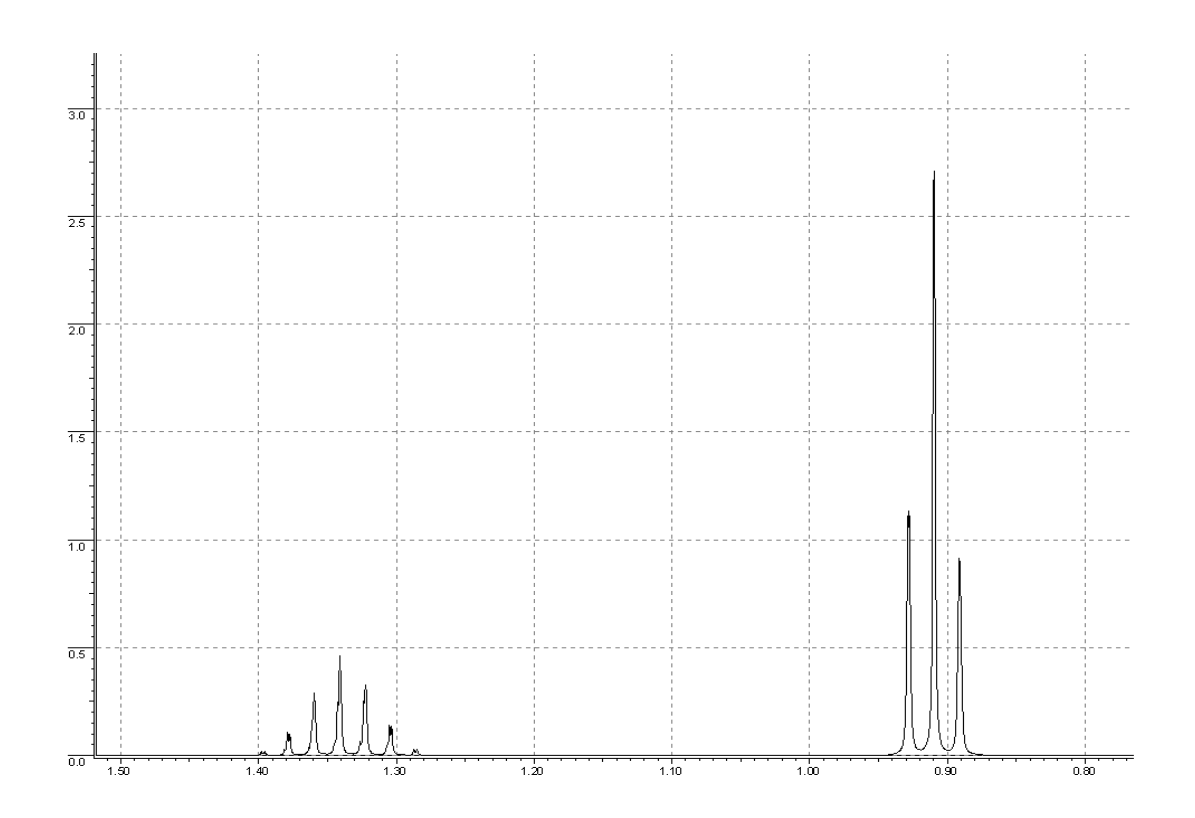
Exo10 : Expliquer l'allure du spectre RMN ¹H du iodo éthane





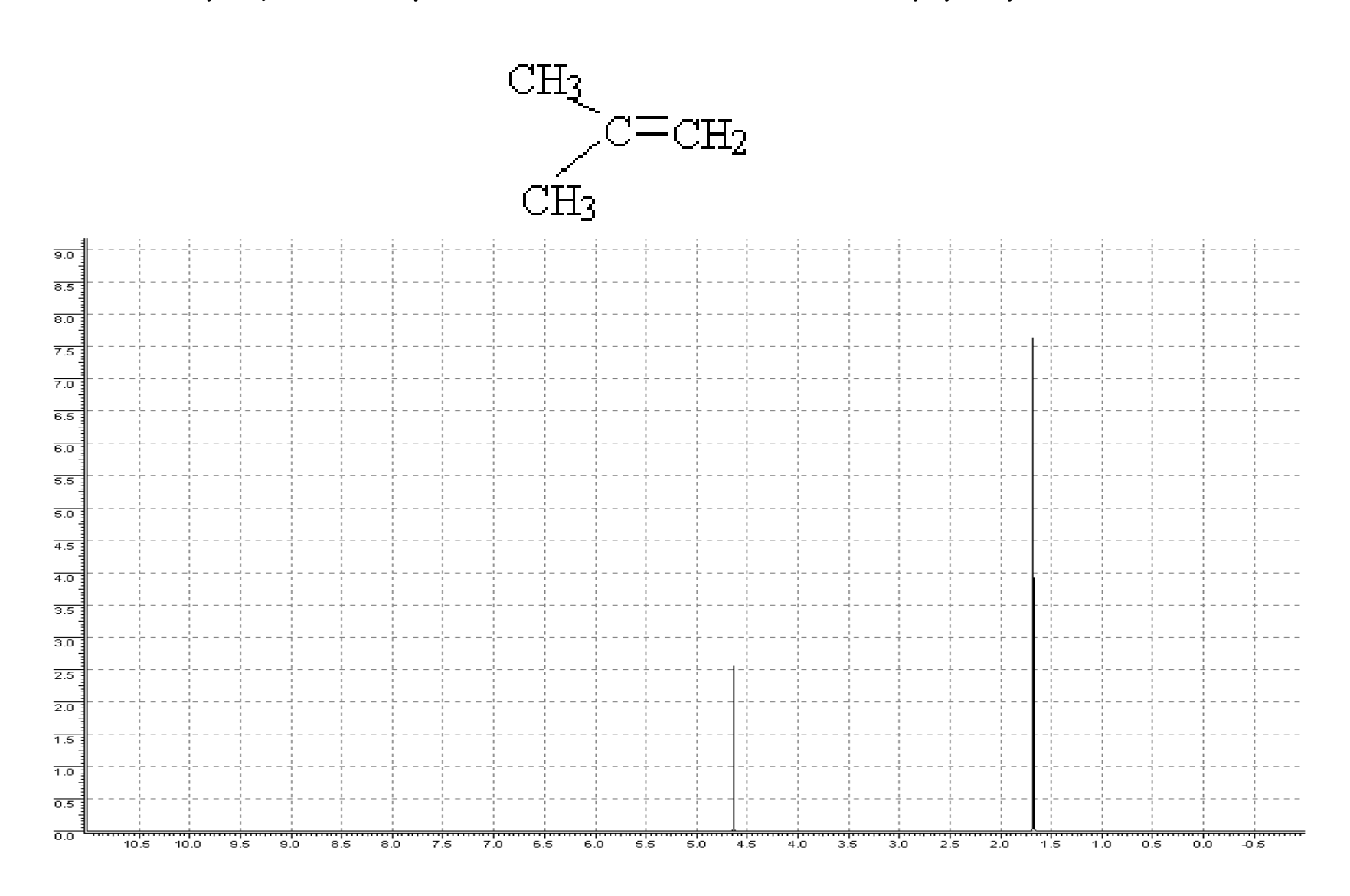
Exo 11 : Prédire le spectre RMN  $^1$ H avec la courbe d'intégration du para-xylène.

Exo 12 : Expliquer l'allure du spectre RMN  $^1$ H du propane  $\mathrm{CH_3}\text{-}\mathrm{CH_2}\text{-}\mathrm{CH_3}$ 



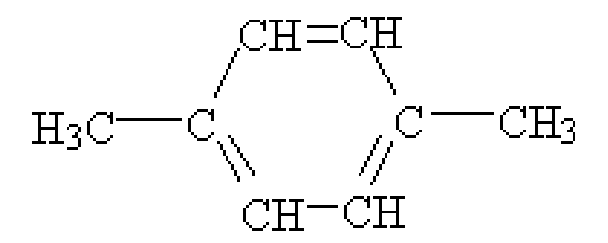
Exo 13 : Prédire le spectre RMN 1H de l'éthylène H2C==CH2

Exo 14 : Expliquer le spectre RMN <sup>1</sup>H du 2-méthylpropène

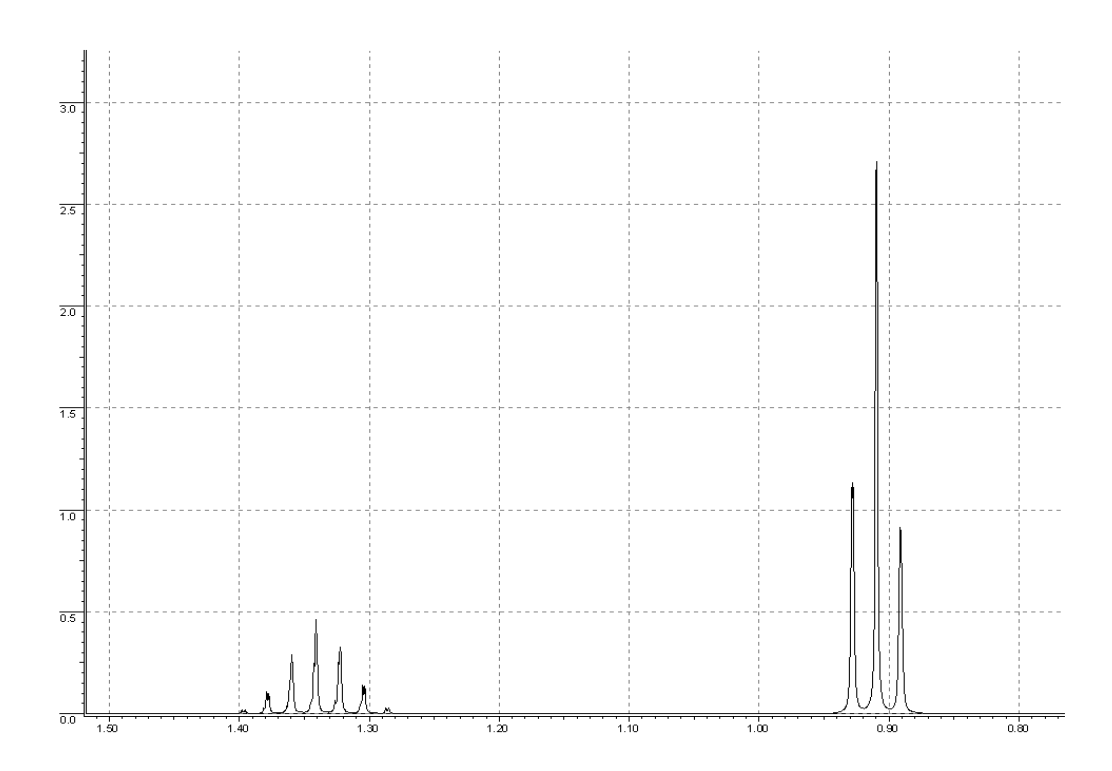


Exo 15:

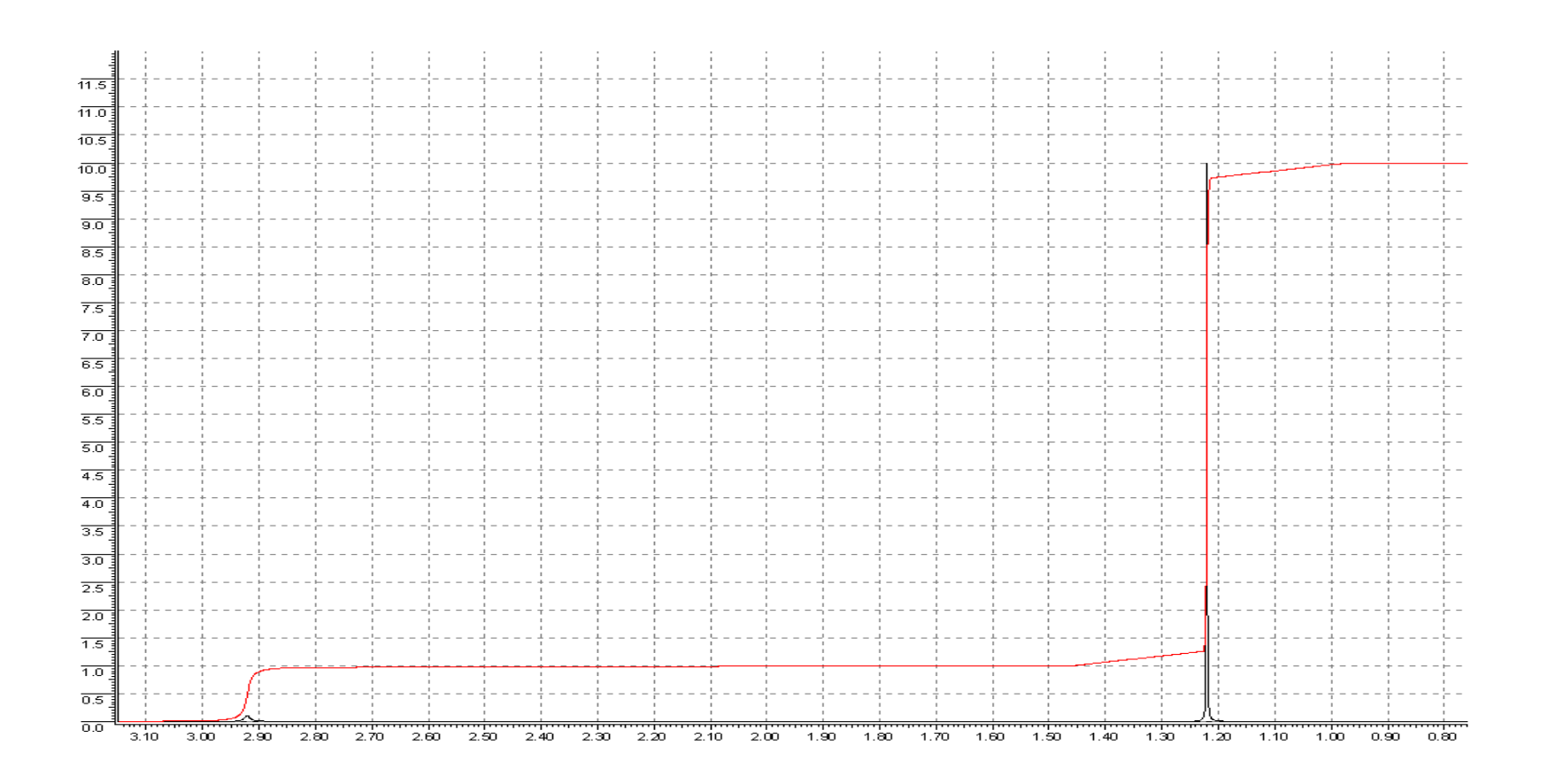
Prédire le spectre RMN <sup>1</sup>H avec la courbe d'intégration du para-xylène.



Exo 16: Expliquer l'allure du spectre RMN  $^1$ H du propane  $\mathrm{CH_3}\text{-}\mathrm{CH_2}\text{-}\mathrm{CH_3}$ 

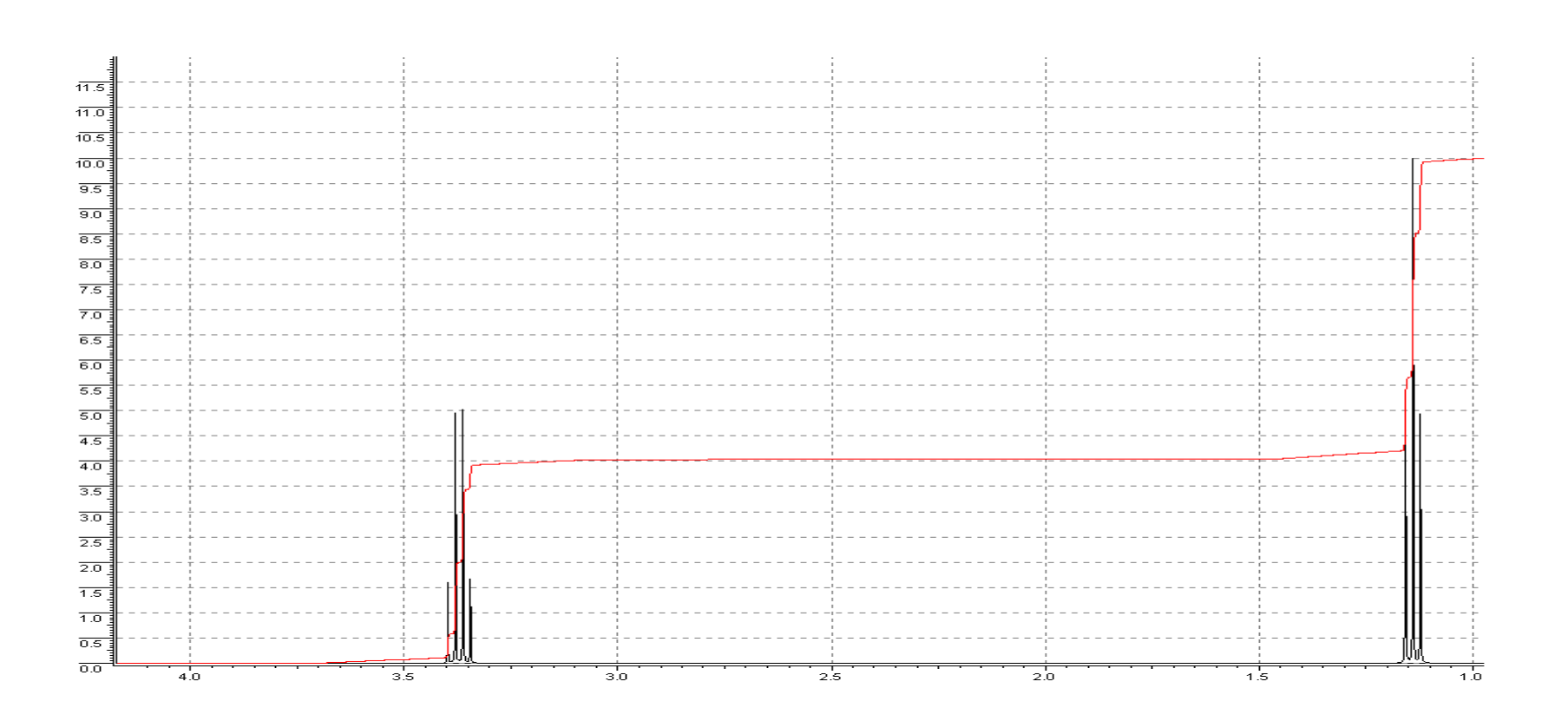


Exo 17 : Prouver vous confirmer que le spectre RMN <sup>1</sup>H est celui d'un alcool. Lequel ?



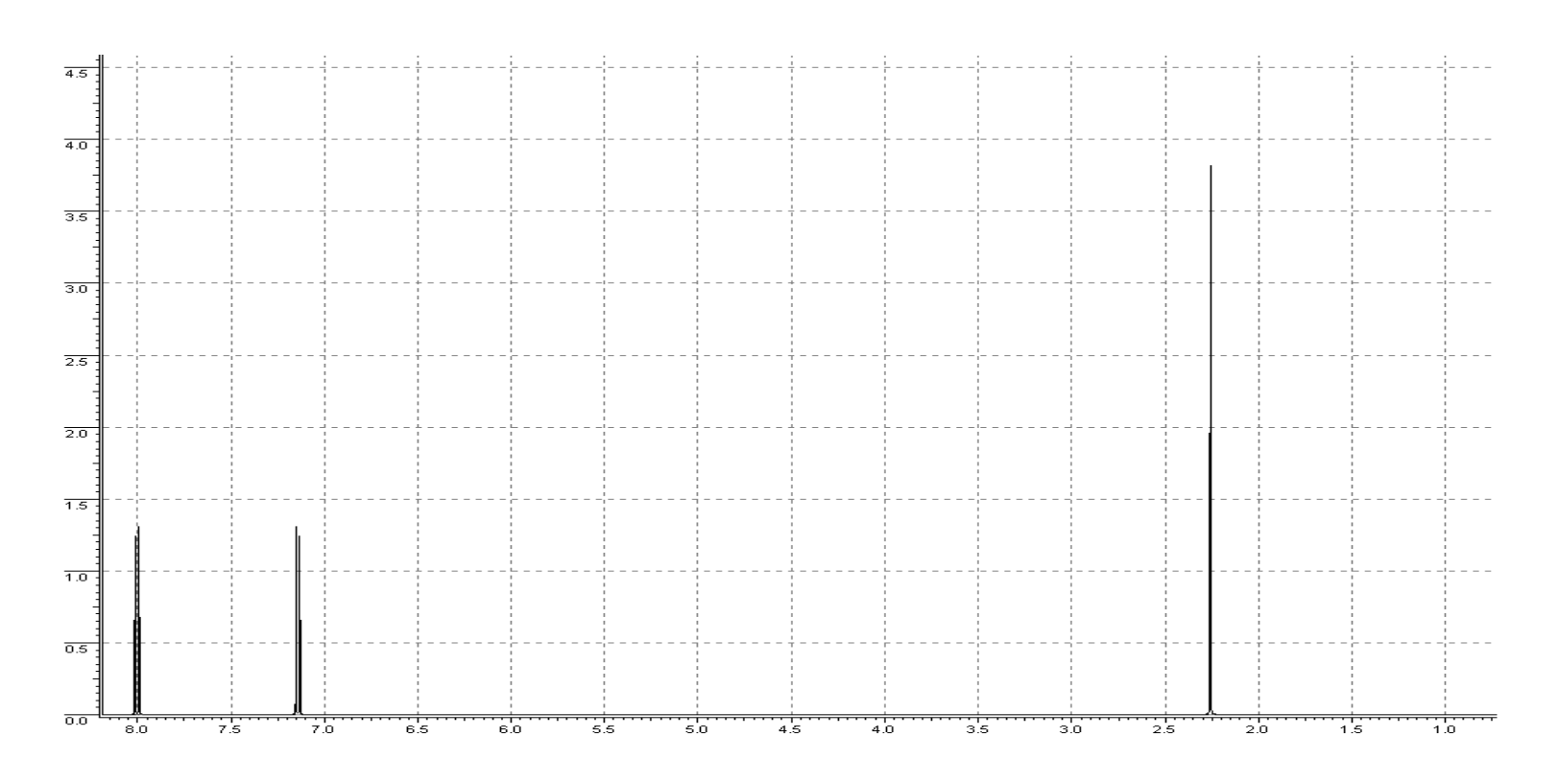
Exo 18: Interpréter le spectre RMN <sup>1</sup>H du

$$CH_3^-CH_2^-O^-CH_2^-CH_3$$

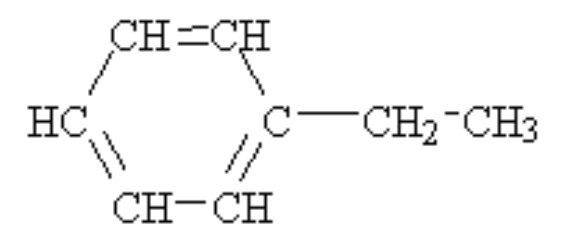


Exo19 : Interpréter le spectre du para-nitrotoluène

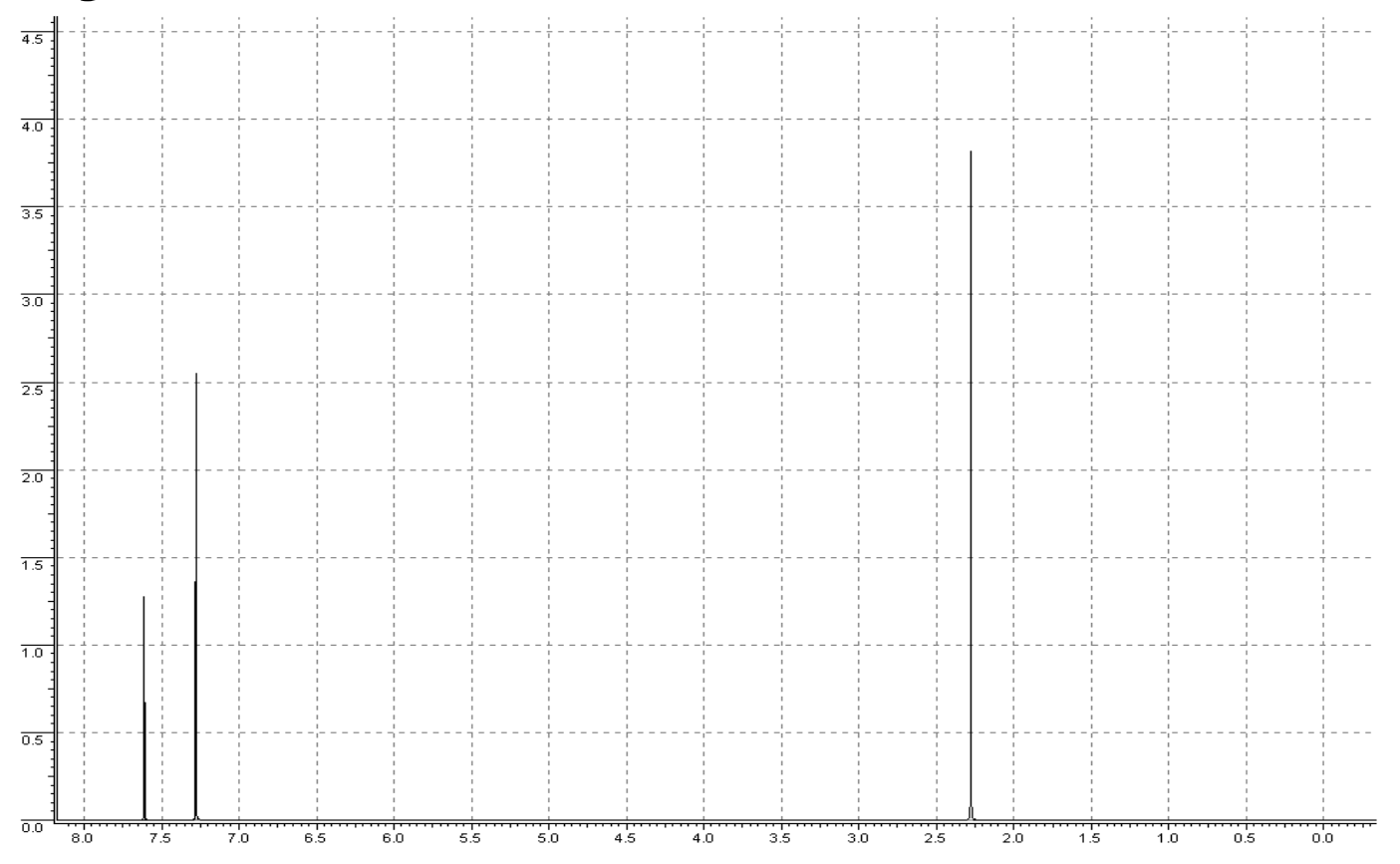
$$_{
m H_3C}$$
— $_{
m C}$ CH=CH  $_{
m C}$ C— $_{
m NO_2}$ 



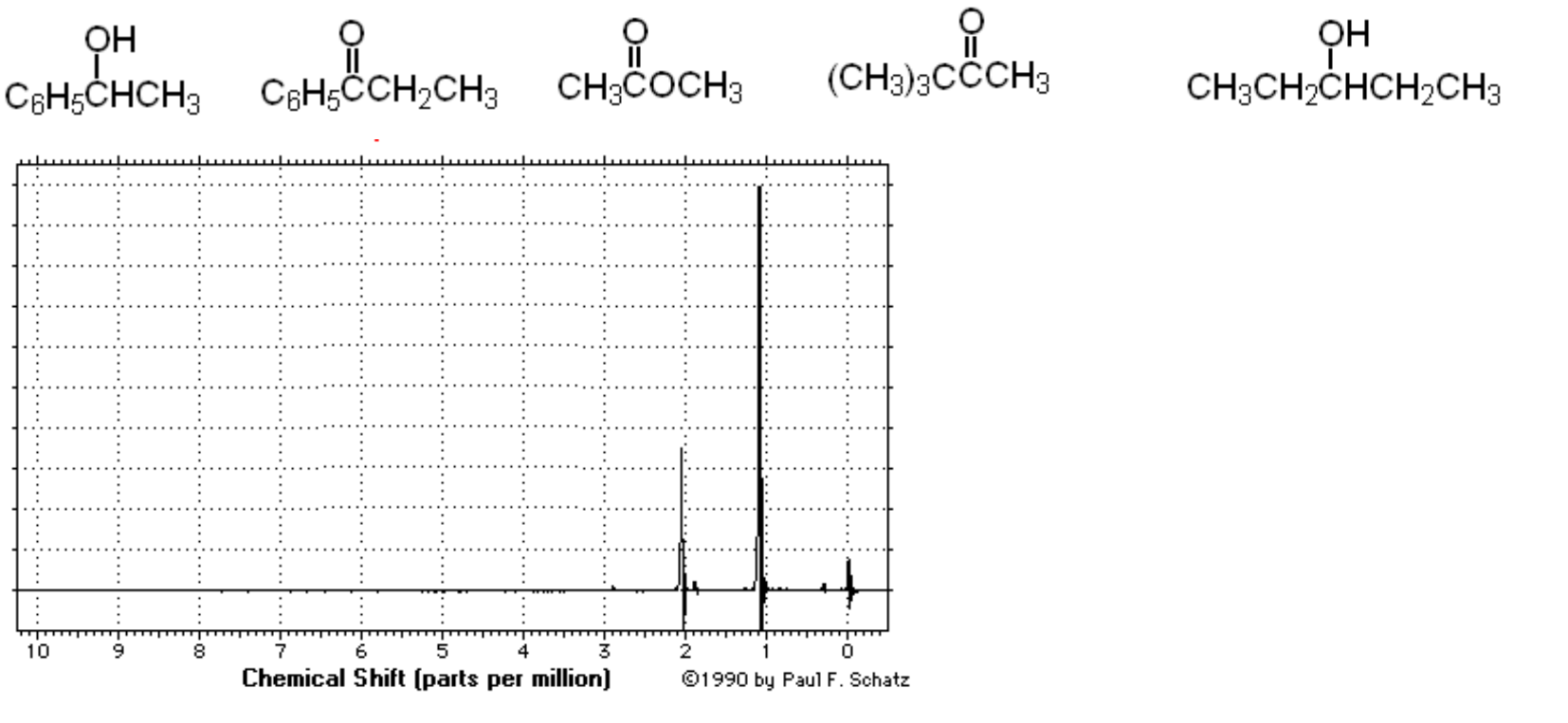
Exo 20 : Prédire le spectre de l'éthylbenzène

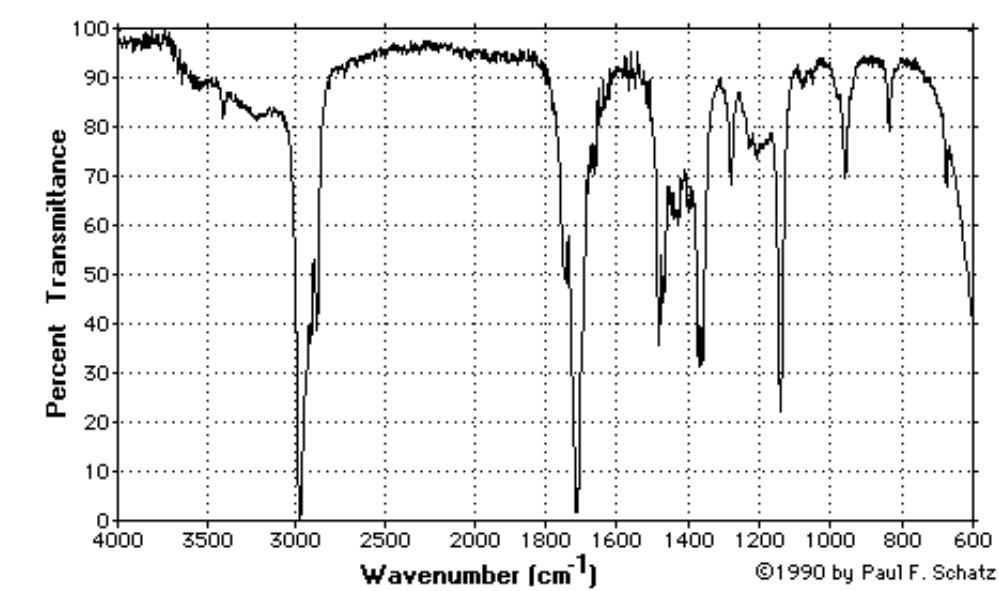


Exo21: Interpréter le spectre du 3,5-dibromotoluene. Tracer l'allure de la courbe d'intégration



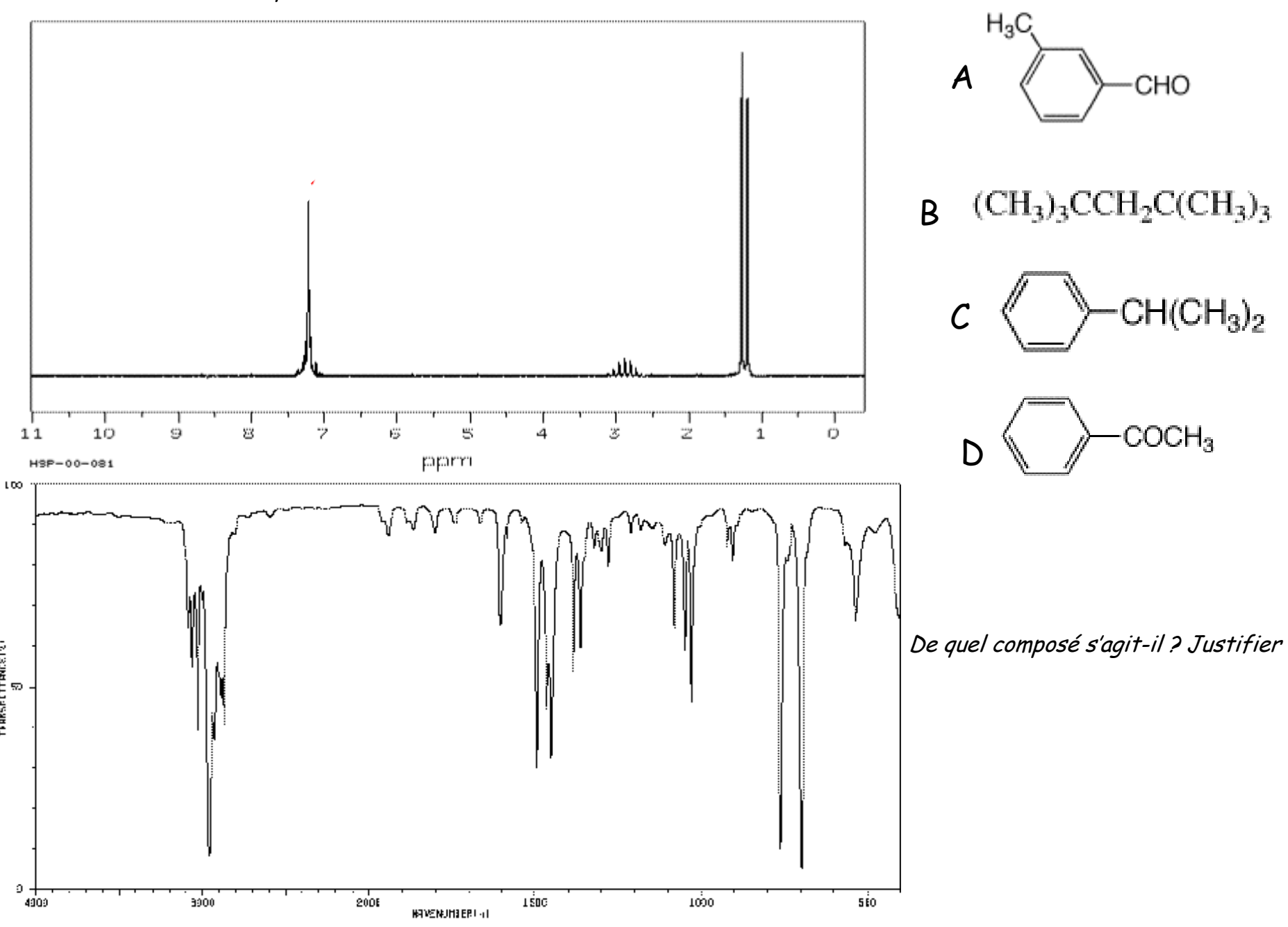
Exo 22 : Les spectresRMN <sup>1</sup>H et IR ci-dessous sont celui d'un des composés suivants :





Dites lequel en justifiant votre réponse.

Exo 23 : Soient les deux spectres RMN<sup>1</sup>H et IR suivants:



Exo 24 - 27:

Attribuer les spectres à leur produit tout en justifiant votre réponse

